

# ارائه رویکردی جدید مبتنی بر نگاشت آشوب برای پیاده‌سازی فازهای امنیتی بر روی شبکه ابر

آزیتا رضائی، علی برومندنی و سید جواد میرعابدینی

حمله از طریق ابر جعلی<sup>۷</sup> [۲] در چهار گونه معماری ابری [۳] رو به افزایش است. اگرچه حملاتی نظیر هک کردن و هرزنامه باعث افزایش آسیب‌پذیری داده‌ها می‌شود، استفاده از روش‌ها و الگوریتم‌های پیشگیرانه می‌تواند از نشت اطلاعات جلوگیری کند.

CSP<sup>۸</sup> به‌عنوان مسئول حفاظت از داده و برنامه‌ها [۴] می‌تواند از کارگزار<sup>۹</sup> به‌عنوان حافظ امنیتی مناسب در این خصوص استفاده نماید. برای این منظور از رمزگذاری داده به‌عنوان امری تأثیرگذار بر روی ابر استفاده می‌شود. داده‌ها باید بر روی بیت‌های داده‌ای قرار گیرند که این عمل می‌تواند به سه حالت استاندارد<sup>۱۰</sup>، غیراستاندارد<sup>۱۱</sup> یا ترکیبی<sup>۱۲</sup> انجام گیرد. در واقع این عمل با استفاده از فرمول و تقسیم‌بندی داده‌ها به‌صورت بلوکی و استفاده از روش کلید رمز انجام می‌شود [۵].

در دهه اخیر، سیاست‌های امنیتی در حوزه شبکه‌های بزرگ با افزایش نرخ سرقت و نشت اطلاعات در شبکه‌های بی‌سیم بسیار مطرح و افزایش نرخ کارایی و دسترس‌پذیری نیز در این حوزه حائز اهمیت است [۶]. روش‌های متنوعی در این حوزه مانند تقسیم‌بندی شبکه [۷] و [۸] و نگاشت آشوب جهت افزایش امنیت [۹] و جلوگیری از حملات وجود دارد [۱] و [۱۰]. ضمن این که استفاده از روش‌های امنیتی به‌طور مستقیم بر روی کارایی سیستم [۸] تأثیر می‌گذارد، استفاده از این روش‌ها همواره مورد نیاز کاربران است.

استفاده از قابلیت ماتریس و نگاشت آشوب [۹] در الگوریتم‌های رمزگذاری جهت افزایش امنیت داده به‌عنوان روشی نوین مطرح است. در این مقاله به دنبال آن هستیم تا از این ویژگی به‌منظور افزایش امنیت داده در زمان انتقال به‌واسطه کارگزارها با در نظر گرفتن میزان کارایی و تعادل‌سازی بین متغیرهای امنیت، کارایی و دسترس‌پذیری استفاده کنیم [۱۱]. نقاط قوت روش پیشنهادی عبارتند از

(۱) استفاده از امنیت چندفازی<sup>۱۳</sup> (MLS) به‌منظور جلوگیری از حملات

در زمانی که داده بین مشتری و CSP مبادله می‌شود.

(۲) استفاده از سرویس قطعه‌بندی‌شده جهت ارسال داده در قالب چهار

فاز امنیتی

(۳) بررسی مجموع جریمه تخصیصی در متغیرهای امنیت، کارایی و

دسترس‌پذیری به‌ویژه در متغیر امنیت و ارائه روش وزن‌گذاری

چکیده: شرکت‌ها و سازمان‌های بزرگ در دنیای امروز، تمایل بسیاری به استفاده از سرویس‌های ETI جهت ذخیره‌سازی و انتقال داده‌های خود دارند. افزایش نرخ استفاده از سرویس‌های تحت شبکه، افزایش مخاطرات و حملات به داده‌ها در زمان ارسال و دریافت و ایجاد محیطی امن برای انجام خدمات در بستر شبکه ابر، چالشی بزرگ را در حوزه سیاست امنیتی مطرح می‌کند. بخش مدیریت امنیت بروکر در شبکه ابر، تأثیر زیادی در مدیریت و تعادل‌سازی متغیرهای امنیت، کارایی و دسترس‌پذیری دارد. این مقاله سعی دارد با ارائه چهار فاز امنیتی بر روی داده در زمان ارسال و دریافت بین مشتری و CSP، ضمن پیشگیری از خرابی داده در زمان سرقت، میزان بازدهی متغیرهای کارایی، متغیر دسترس‌پذیری و شاخص رضایتمندی مشتریان را بررسی نماید. نتایج ارزیابی بر روی سه مدل آزمایشی نشان می‌دهند میزان جرائم تخصیصی سیستم به میزان ۶۱/۴۱٪ کاهش و شاخص رضایت مشتریان تا ۶۰/۶۷٪ افزایش می‌یابد.

کلیدواژه: الگوریتم امنیتی چندلایه (MLS)، رمزنگاری، قطعه‌بندی داده‌ها، مدیریت کارگزار امنیتی.

## ۱- مقدمه

با افزایش دامنه خدمت سرویس‌دهنده‌های زیرساخت ابر، میزان شرکت‌های علاقه‌مند به استفاده از آن نیز رو به افزایش است. انتقال داده، سرویس ETI<sup>۱</sup> و ارائه خدمت به‌عنوان یک چالش دارای اهمیت در حوزه امنیت مطرح است. از طرفی، الگوریتم‌ها و روش‌های سارقین جهت سرقت و صدمه به داده هر روز تغییر می‌کنند که برای جلوگیری از این مخاطره، باید الگوریتم‌های ابتکاری رمزگذاری داده‌ها نیز متنوع گردند. با این حال، آسیب‌پذیری در برابر شنود<sup>۲</sup> [۱]، دستکاری<sup>۳</sup>، انکار<sup>۴</sup>، افشای اطلاعات<sup>۵</sup>، انکار سرویس یا تزریق سرویس غیرمجاز<sup>۶</sup>، مجازی‌سازی و

این مقاله در تاریخ ۲۱ خرداد ماه ۱۴۰۲ دریافت و در تاریخ ۱۸ آبان ماه ۱۴۰۲ بازنگری شد.

آزیتا رضائی، گروه کامپیوتر، واحد تهران جنوب، دانشگاه آزاد اسلامی، تهران، ایران، (email: st\_az\_rezaei@azad.ac.ir).

علی برومندنی (نویسنده مسئول)، گروه کامپیوتر، واحد تهران جنوب، دانشگاه آزاد اسلامی، تهران، ایران، (email: Broumandnia@azad.ac.ir).

سید جواد میرعابدینی، گروه کامپیوتر، واحد تهران مرکز، دانشگاه آزاد اسلامی تهران، ایران، (email: j\_mirabedini@iauctb.ac.ir).

7. Virtualization and Metadata Spoofing Attacks

8. Cloud Service Provider

9. Broker

10. Standard Method

11. Non-Standard Method

12. Hybrid Method

13. Multi-Layered Security

1. Thing by Internet

2. Spoofing

3. Tampering

4. Repudiation

5. Information Disclosure

6. Denial of Service or Service Injection

جدول ۱: مقایسه بین روش پیشنهادی مقاله و سایر روش‌ها.

منبع	روش پیشنهادی	رویکرد کارایی	رویکرد امنیت
[۱۲]	پشتیبانی از امنیت ابر در سکوها‌های توزیع شده	□	×
[۸]	افزایش کارایی با الگوریتم بلوک‌بندی ویدمن	×	□
[۱۴]	مبهم‌سازی و رمزگذاری RSA	□	×
[۱۵]	اصلاح ویژگی امنیت به‌منظور جلوگیری از منابع بلااستفاده در ایستگاه‌های موبایل	□	×
[۱۶]	استفاده از روش رمزگذاری برای امنیت داده‌ها و شخصی‌سازی	□	×
[۱۷]	استفاده هم‌زمان از مزایای رمزگذاری آشوب و درخت هش مرکل	□	×
[۱۸]	ارائه پروتکل کم‌وزن و حفظ درجه امنیت در شبکه MQTT	□	×
MLS	لایه‌گذاری امنیتی (MLS) (روش پیشنهادی)	□	□

پارامترها به‌منظور محاسبه جرائم

۴) بررسی تأثیر روش پیشنهادی بر روی بازدهی متغیرهای کارایی،

دسترس‌پذیری و شاخص رضایت مشتری

یکی از روش‌های مؤثر در جلوگیری از سوء استفاده داده‌ها، بهره‌گیری

از روش‌های پیشگیری از خرابی داده‌هاست. مقاله حاضر می‌خواهد با

استفاده از روش فزیندی و به‌صورت مرحله‌بندی‌شده، داده را به‌صورت

ایمن ارسال و دریافت نماید. در این حالت از مزایای متدهای به‌روز مانند

ویدمن، نگاشت آشوب، تولید کلید خصوصی با بهره‌گیری از خاصیت اعداد

اول و بهره‌گیری از قابلیت‌های مدیریت بروکر استفاده می‌گردد. هر یک از

موارد ذکرشده موجب قراردادی قابلیت‌هایی برای افزایش مقاومت داده در

برابر حمله می‌شود. در واقع هدف از این مقاله، بهره‌گیری از قابلیت‌های

روش‌های جدید و پویا به‌منظور تولید داده امن در زمان ارسال و دریافت

می‌باشد. تمرکز اصلی این مقاله بر عملیات رمزنگاری و تولید داده

رمزگذاری شده است. از مزایای روش پیشنهادی، بررسی از جنبه‌های

مختلف مثل بررسی تغییرات در بازدهی متغیرهای کارایی و دسترس‌پذیری

در مقابل متغیر امنیت و نیز تأثیر این روش بر میزان جرائم تخصیصی به

سیستم با استفاده از روش وزن‌گذاری، محاسبه رضایت مشتری و میزان

بازدهی آن با سایر کارهای مشابه، تأثیر کار بر زمان انجام عملیات مورد

ارزیابی می‌باشد تا بتوان وجهت کار پیشنهادی را به نمایش گذاشت.

همچنین رصد و پشتیبانی از سرویس و حفظ یکپارچگی داده‌ها در زمان

انتقال بین ابرها دارای اهمیت است.

سایر بخش‌های این مقاله بدین صورت است: بخش دوم به بررسی

رویکردهای گذشته می‌پردازد. در بخش سوم، معماری زیرساخت و

سیاست‌های امنیتی بررسی می‌شود. بخش چهارم به طرح کلی روش

پیشنهادی و بخش پنجم به ارائه روش پیشنهادی، انگیزه و نوآوری موجود

در طرح می‌پردازد. بخش ششم ارزیابی کارایی، آزمایش‌ها و نمودارهای

مقایسه‌ای را نشان می‌دهد و بخش آخر نیز نتایج حاصل را بیان می‌کند.

## ۲- کارهای مرتبط

با وجود این که بسیاری از کاربران در دهه اخیر نیازمند اتصال و انتقال

داده از طریق شبکه هستند، بسیاری از تحقیق‌های انجام‌یافته بر حوزه

سیاست‌های امنیتی در شبکه تمرکز دارد.

مونوگرام<sup>۱</sup> و همکاران [۱۲] از چارچوب کاهش نقشه ابر داده [۱۳]

برای پشتیبانی از امنیت داده استفاده کردند. این کار برای سکوها<sup>۲</sup>

توزیع‌شده برای حل مشکل داده‌های بزرگ مناسب است؛ با این حال

نویسنده به مسئله گم‌شدن یا سرقت داده‌ها نپرداخته است.

یانگ<sup>۳</sup> و همکاران [۸] به دنبال پیدا کردن راهی برای افزایش دادن

کارایی به‌وسیله قطعه‌بندی و تمرکز بر روی اثرگذاری بر سیستم به‌واسطه

روش بلوک‌بندی ویدمن<sup>۴</sup> بودند. در مقابل، مقاله حاضر به دنبال اصلاح

سیاست امنیتی با الگوریتم فزیندی به‌گونه‌ای است که بتواند کارایی و

دسترس‌پذیری را نیز بهبود دهد.

گاتام<sup>۵</sup> و همکاران [۱۴] به‌دنبال روشی جهت مبهم‌سازی<sup>۶</sup> منابع و کد

RSA<sup>۷</sup> در رکوردهای سلامت الکتریکی در شبکه ابری بودند.

راتا<sup>۸</sup> [۱۵] خاصیت امنیت را در ایستگاه‌های موبایل برای جلوگیری از

منابع غیرلازم استفاده نمود. او از ایستگاه‌های مجازی با پهنای باند قابل

انتخاب و سایر ویژگی‌های CSP استفاده کرد.

شارما<sup>۹</sup> و همکاران [۱۶] از روش‌های رمزگذاری متعدد برای محافظت

از امنیت داده و شخصی‌سازی استفاده نمودند. هرچند آنها به نتایج حاصل

از حمله به داده‌ها و یا افزایش درخواست‌ها در شبکه نپرداخته‌اند، با این

حال، استفاده از روش‌های رمزگذاری مؤثر برای محافظت از داده‌های

حساس ضروری است.

نسا<sup>۱۰</sup> و همکاران [۱۷] از رمزگذاری آشوب و درخت هش مرکل<sup>۱۱</sup>

برای ارسال و دریافت داده در شبکه استفاده نمودند؛ ولی نویسندگان به اثر

این کار در متغیرهای کارایی و دسترس‌پذیری نپرداخته‌اند.

هینتا<sup>۱۲</sup> و همکاران [۱۸] به دنبال ارائه یک پروتکل کم‌وزن و هم‌زمان

حفظ درجه امنیت در شبکه MQTT<sup>۱۳</sup> بودند. آنها سعی کردند با بیان

آخرین سناریوهای حمله در محیط MQTT و مطالعه روی انواع حملات و

کاراکترهای آنها، مکانیسم دفاعی خوبی در برابر حملات ارائه کنند.

با توجه به رویکردهای عنوان‌شده، فرضیه MLS می‌خواهد با ارائه

رویکردی جدید، علاوه بر معرفی روش رمزگذاری در چهار فاز با استفاده

از ویژگی‌های الگوریتم‌های ویدمن و آشوب و استفاده از خواص اعداد

اول، میزان امنیت را در زمان ارسال و دریافت داده به‌واسطه CSP افزایش

دهد. جدول ۱ به مقایسه اجمالی بین روش‌های موجود و روش پیشنهادی

3. Yang

4. Block Wiedemann Method

5. P. Gautam

6. Obfuscation

7. Rivest-Shamir-Adleman Algorithm

8. M. Rathan

9. Y. Sharma

10. Nesa

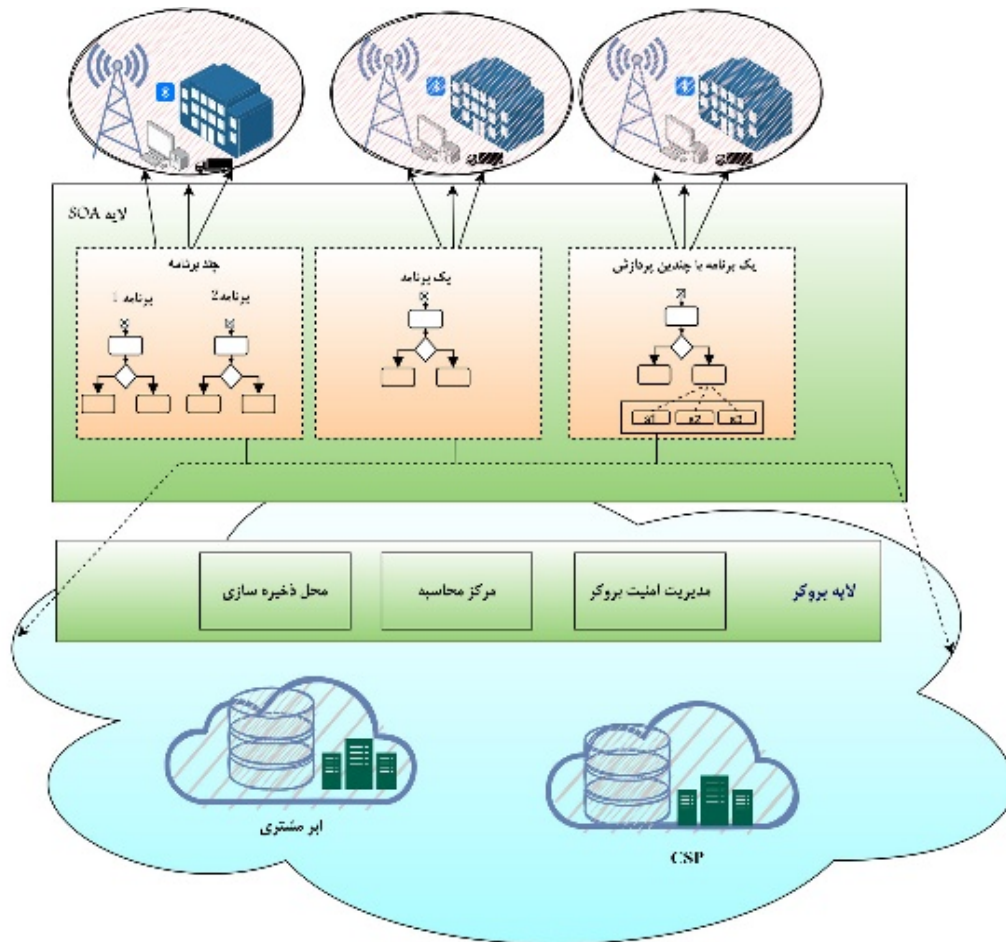
11. Merkle Hash Tree

12. A. J. Hintaw

13. Message Queuing Telemetry Transport

1. G. Manogaran

2. Platform



شکل ۱: معماری کار.

هماهنگی بیشتر با CSP کمک می‌گیرد. معماری شبکه ابری بر اساس سرویس<sup>۲</sup> (SOCCA) به‌عنوان یک مفهوم که هم‌زمان شبکه ابر و SOA را هماهنگ و یک معماری سلسله‌مراتبی را ارائه می‌نماید، معرفی می‌شود. در این معماری در بالاترین لایه، SOA و کارگزارها قرار دارند. شکل ۱ معماری کار را نشان می‌دهد. این گزارش بر لایه مدیریت سرور و انتقال داده‌ها از طریق ابر تمرکز دارد.

### ۳-۲ مدل امنیتی

تمرکز این مقاله روی پیشگیری از سرقت و آسیب به داده و سرویس است. روش‌های متنوعی برای انعطاف‌پذیری سیستم در زمان حمله وجود دارند [۲۰]؛ ولی در این مقاله به دنبال استفاده از روش پیشگیری هستیم. روش‌های رمزگذاری از ایجاد خطا در داده‌ها جلوگیری می‌کنند. در روش‌های استاندارد، داده به بلوک‌های مساوی تقسیم و به روش‌های متقارن<sup>۳</sup> و نامتقارن<sup>۴</sup> کلید تولید می‌شود. روش‌های غیراستاندارد نیز از الگوریتم آشوب استفاده می‌کنند. در روش ترکیبی از هر دو روش استاندارد و غیراستاندارد توأم استفاده می‌شود [۵]. شکل ۲ نمودار سلسله‌مراتب مربوط به این روش‌ها را نمایش می‌دهد. هر ابر می‌تواند در برابر موقعیت‌های داخلی و خارجی آسیب‌پذیر باشد [۲۱]. امنیت خارجی به امنیت داده، دخالت در مقدار داده، انبار داده و میزان دسترسی کاربران به داده بستگی دارد [۲۲]. دامنه کاری این مقاله نیز بر روی امنیت خارجی بر

در این مقاله می‌پردازد. علاوه بر این، مقاله حاضر یک پژوهش جامع در حوزه امنیت است تا در نتیجه آن بتوان میزان جرائم تخصیصی بر سه متغیر را مشاهده نمود و تأثیر آن را بر میزان بازدهی متغیرهای کارایی، دسترس‌پذیری و امنیت و سنجش میزان رضایت مشتری به‌دست آورد.

### ۳- معماری زیرساخت و مدل امنیتی

#### ۱-۳ معماری زیرساخت

در دنیای امروز، بسیاری از پیام‌ها به‌واسطه خطوط بی‌سیم انتقال می‌یابند. سناریوهای مختلفی جهت برقراری امنیت عنوان شده و یکی از این معماری‌ها استفاده از SOA<sup>۱</sup> است که روشی جدید برای فراهم‌سازی سرویس در شبکه توزیع می‌باشد. سرویس‌ها در این حالت از شبکه‌ها و دامین‌های متفاوتی ارسال می‌شوند که باعث پیچیده‌سازی برنامه‌ها و لایه‌های پردازش می‌شوند و باید به‌صورت مدیریت‌شده و لایه‌بندی‌شده به کار خود ادامه دهند [۱۹]. SOA علاوه بر قابلیت پردازش لایه‌ها و برنامه‌های پیچیده می‌تواند خصوصیت‌های سیستم را نیز اصلاح نماید.

در کنار این معماری، یک سرویس‌دهنده CSP می‌تواند امور جزئی همانند دریافت و ذخیره‌سازی داده یا کارهای پیچیده‌تر همانند یافتن و پرینت عکس‌ها و دسته‌بندی داده‌ها را انجام دهد. انعطاف‌پذیری، پشتیبانی و معتبر بودن در تمامی این کارها برای رسیدن به یک سیستم توزیع‌شده با کمترین میزان وابستگی مهم است. در این حالت ابر از کارگزار به‌منظور مدیریت و کنترل ارتباطات و همچنین اجازه به مشتریان در جهت

2. Service-Oriented Cloud Computing Architecture  
 3. Symmetric  
 4. Asymmetric

1. Service-Oriented Architecture

انجام می‌شود. داده‌ها با استفاده از کلید عمومی یا کلید خصوصی انتقال داده می‌شوند. اگرچه سینگ پیل<sup>۲</sup> [۱] پیشنهاد سه مؤلفه برای افزایش امنیت را داده است، این روش وقت‌گیر بوده و ایجاد افزونگی در زمان ساخت کلید را به دنبال خواهد داشت. امورتی<sup>۳</sup> [۲۴] نیز یک لایه جدید برای هر خط و سایت به‌وسیله کارگزار را پیشنهاد داد که به‌عنوان راه حلی برای پروژه‌های تکنولوژی IT عمل می‌نماید. این روش از یک حافظه ردیاب برای حل مشکل سربرار استفاده می‌کند؛ با این حال نویسنده هنوز با چالش پشتیبانی از ابر مواجه است.

یکی از روش‌های رمزگذاری انتقال داده‌ها، استفاده از نگاشت آشوب است. نگاشت آشوب با استفاده از کارایی مناسب، یک تکنیک استاندارد را در این زمینه پیشنهاد می‌دهد [۵]. فرمول (۳)، نحوه نگاشت و بازگشت از نگاشت آشوب است. طبق (۳)، یک نقطه با موقعیت  $x$  و  $y$  با نقشه  $a, b, c, d$  به نقطه  $x_1$  و  $y_1$  می‌رسد

$$\begin{bmatrix} x_{n+1} \\ y_{n+1} \end{bmatrix} = \begin{bmatrix} a & b \\ c & d \end{bmatrix} \times \begin{bmatrix} x_n \\ y_n \end{bmatrix} \pmod n$$

$$x_{n+1} = (a \times x_n) + (b \times y_n) \quad (3)$$

$$y_{n+1} = (c \times x_n) + (d \times y_n)$$

در صورتی که  $\gcd(A, n) = 1$  باشد، روش بازگشت به‌صورت ماتریس (۴) به‌صورت زیر است

$$\begin{bmatrix} x_n \\ y_n \end{bmatrix} = \begin{bmatrix} a & b \\ c & d \end{bmatrix}^{-1} \times \begin{bmatrix} x_{n+1} \\ y_{n+1} \end{bmatrix} \quad (4)$$

با استفاده از این روش می‌توان داده را به‌صورت فزاینده‌ی شده از طریق بخش مدیریت امنیت کارگزار ارسال نمود. این مقاله از روش‌های قطعه‌بندی، مهم‌سازی، نگاشت آشوب و کدهای ناهمگام برای افزایش سطح امنیت استفاده می‌کند.

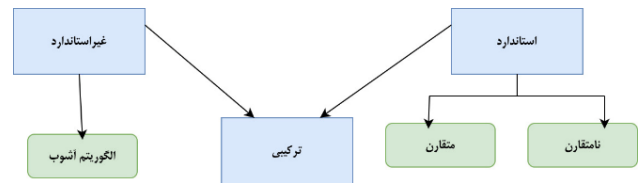
شکل ۳ روند حرکت داده از ابتدا تا پردازش را نشان می‌دهد.  $R_1$  تا  $R_n$  میزان درخواست‌های کلاینت از SB و  $US_1$  تا  $US_i$  نیز میزان داده‌های غیرواقع هستند که به‌صورت تصادفی برای مهم‌سازی تولید می‌شوند. هر درخواست می‌تواند به‌صورت داده، عکس یا فیلم باشد که در ماتریس  $M_1$  تا  $M_n$  جایگذاری می‌شود.

## ۵- روش پیشنهادی

در این بخش به معرفی فازهای روش پیشنهادی (MLS) می‌پردازیم. شکل ۴ نشان‌دهنده روابط بین مشتریان، کارگزار و سرویس‌دهنده است. همان‌طور که مشخص است بعد از آن که مشتری درخواست خود را به کارگزار ارسال کرد، فرایند رمزنگاری در بخش مدیریت امنیت بروکر (SB) انجام و پیام به کارگزار سمت CSP ارسال می‌شود. کارگزار پس از دریافت درخواست بر اساس نوع درخواست، سرویس‌دهنده مناسب را پیدا می‌کند. سپس با فرض این که کارگزار نسبت به نحوه یافتن و ارسال پیام به CSP مطلع است، نسبت به ارسال آن از طریق رویکرد سیاست امنیتی اقدام می‌کند. بر این اساس، چهار فاز انجام فرایند به‌صورت زیر است:

**A) فاز بلوک‌بندی داده‌ها:** این مرحله به‌منظور دسته‌بندی و تقسیم‌بندی سرویس‌ها به زیرسرویس انجام می‌شود که شامل مراحل زیر است:

(۱) هر سرویس به  $n$  زیرسرویس تقسیم می‌شود. حداقل تعداد تقسیم باید بزرگ‌تر از سه باشد.



شکل ۲: سلسله‌مراتب مقارن و نامقارن.

اساس میزان درخواست داده و سرویس متمرکز است. علاوه بر آن، یک الگوریتم بهینه به نوع درخواست مشتری و بودجه آن بستگی دارد [۲۳]. کاربران همواره در انتخاب سیاست امنیتی بر اساس نیازمندی و زیرساخت نرم‌افزاری و سخت‌افزاری مورد نیاز خود دچار چالش هستند. یک انتخاب درست می‌تواند از افزایش هزینه جلوگیری کرده و انعطاف‌پذیری سرویس را نیز تأمین نماید.

به‌منظور سنجیدن متغیر امنیت، پارامترهایی مانند فایروال، رمزها، مسیریاب‌ها، ترافیک شبکه، IP و خرابی یا گم‌شدن داده‌ها در نظر گرفته می‌شود. خطا و نشت اطلاعات در هر یک از این عوامل باعث بروز خسارت و در نتیجه محاسبه جریمه تخصیصی به سیستم می‌شود. بدین ترتیب هر پارامتر یک ضریب تأثیر خواهد داشت که مجموع این ضرایب، جریمه قابل تحمیل به متغیر امنیت را نمایش می‌دهد. به همین ترتیب متغیرهای کارایی و دسترس‌پذیری نیز دارای پارامتر/ پارامترهایی هستند که مجموع این پارامترها به همراه ضریب تأثیر خود، وزن (۱) را محاسبه می‌نماید. فرمول (۲) میانگین مجموع وزن‌هایی را که در یک متغیر می‌تواند به سیستم تحمیل شود نشان می‌دهد

$$W = aw_1 + bw_2 + \dots + zw_n \quad (1)$$

در این حالت  $a, b, \dots, z$  نشان‌دهنده ضریب تأثیر و مقدار آنها همواره بین صفر تا یک است.  $W_1, \dots, W_n$  وزن‌های متغیر هستند که مقادیرشان بین صفر تا نه است؛ بنابراین وزن نهایی به‌صورت زیر محاسبه می‌گردد

$$W_{total} = \frac{W}{n} \quad (2)$$

در این قسمت مقدار  $n$  نشان‌دهنده تعداد کل پارامترهای مؤثر در یک متغیر است. بیشترین مقدار هر یک از این متغیرها عدد نه است که در محاسبه جریمه تخصیصی در یک متغیر در نظر گرفته می‌شود.

هدف اصلی این مقاله، ارسال داده به‌صورت رمزگذاری شده به‌گونه‌ای است که قابلیت دزدیده‌شدن یا خوانده‌شدن توسط سارقین را از دست داده باشد؛ بنابراین روش پیشنهادی می‌تواند به‌عنوان روشی مناسب در زمان انتقال داده‌ها به‌صورت دسته‌ای مورد استفاده قرار بگیرد.

در کنار این مبحث به‌دنبال بررسی میزان دسترس‌پذیری و کارایی در زمان استفاده از الگوریتم فزاینده‌ی شده امنیت هستیم. استفاده از این ترفند می‌تواند بر روی سنجش رضایت مشتری تأثیر گذارد و ما می‌خواهیم با بررسی این موضوع، اندیس رضایتمندی مشتریان را بررسی کنیم.

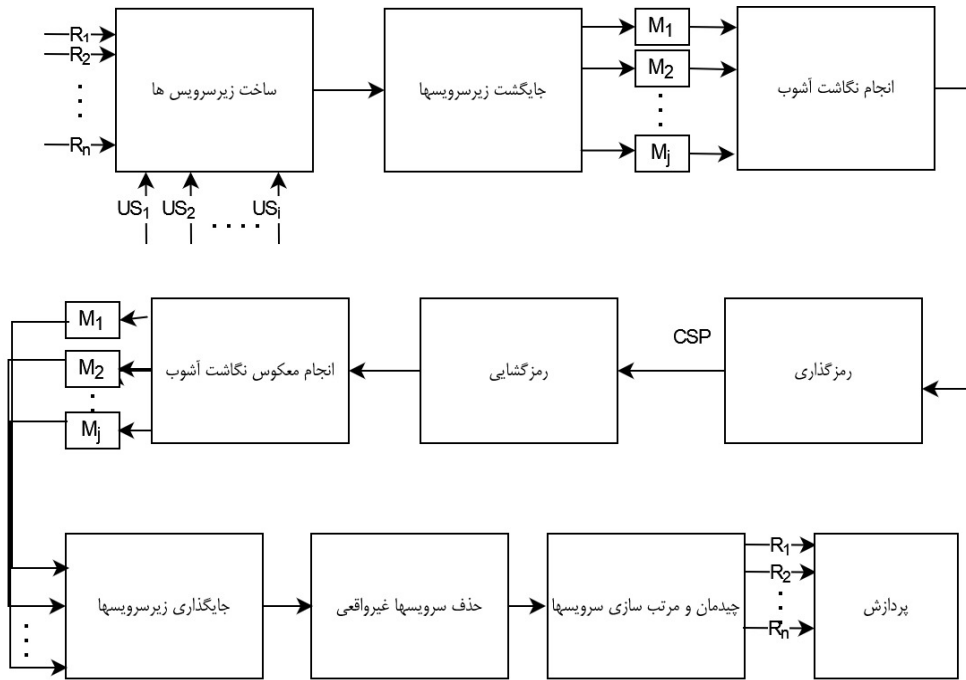
## ۴- طرح کلی روش پیشنهادی

کارگزار در زمان کار CSP، مسئول جابه‌جایی پیام‌ها بین مشترکین است. داده‌ها جهت انتقال به کارگزار داده می‌شوند و CSP جهت انجام سرویس درخواستی، داده‌ها را از کارگزار دریافت می‌کند. استفاده از سرآیند برای افزایش امنیت پک‌ها با استفاده از مدیریت امنیت بروکر (SB)

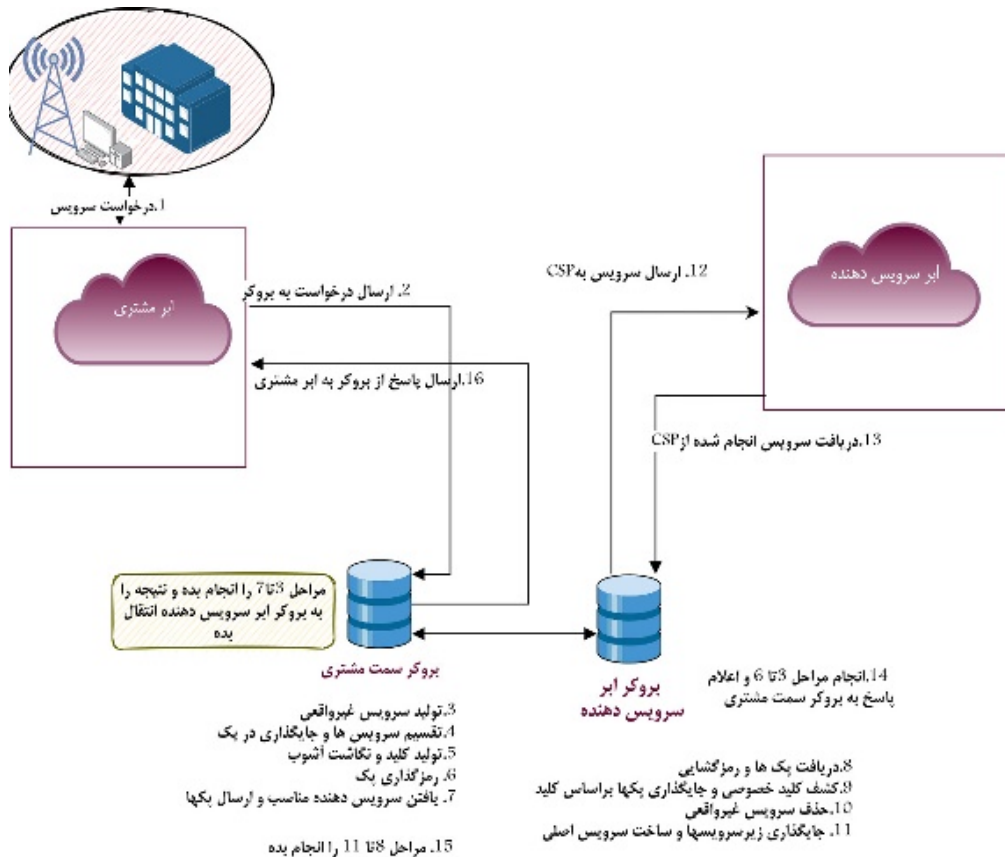
2. Singh Bail

3. Amoretti

1. Security Broker



شکل ۳: نمای کلی از رویکرد مقاله.



شکل ۴: معماری ارسال و دریافت سرویس بر اساس رویکرد MLS.

(۵) این کار به همین ترتیب ادامه می‌یابد تا اولین ستون ماتریس تکمیل گردد و تمام قطعات سرویس اول در ماتریس قرار گیرند.  
 (۶) دومین سرویس به همین ترتیب در تمام خانه‌های ستون دوم ماتریس جایگذاری می‌شود.  
 (۷) این کار ادامه می‌یابد تا زمانی که  $n$  خانه ماتریس تکمیل شود. الگوریتم ۱ (شکل ۵) نحوه انجام آن را نمایش می‌دهد.

(۲) تمام زیرسرویس‌های یک سرویس به صورت تقسیم‌شده در یک ستون قرار می‌گیرند تا در نهایت از جایگذاری  $n$  سرویس، یک ماتریس  $n \times n$  ساخته شود.  
 (۳) اولین بخش از سرویس اول در اولین ستون و اولین ردیف ماتریس جایگذاری می‌شود.  
 (۴) دومین بخش از سرویس اول در اولین ستون و دومین ردیف ماتریس جایگذاری می‌شود.



ورودی: داده

خروجی: جایگذاری داده در ماتریس مربعی

جدول ۲: نحوه جابه‌جایی تگ‌ها.

Tag	Tag B\	Tag C\	Tag A\	Tag D\
Tag address	۴ ۲ ۱	۴ ۲ ۱	۴ ۲ ۱	۴ ۲ ۱
$P_i$	۲ ۳ ۵	۷ ۱۱ ۱۳	۱۷ ۱۹ ۲۳	۲۹ ۳۱ ۳۷

(۲) بخش هدر<sup>۲</sup> یک پرچم تگ را به نشانه داده غیرواقعی مثبت می‌کند تا در زمان رسیدن توسط CSP قابل تشخیص و حذف باشد. (C) فاز ساخت نگاشت هوشمند آشوب و تولید کلید خصوصی: با توجه به این که هر بخش دارای تگ و مکان خاص است می‌توان با استفاده از مکان‌نمای هر سطر ماتریس و جابه‌جانی سطور با استفاده از نگاشت آشوب، مکان جدید برای داده‌های هر سطر تولید کرد.

B\ (sub)	C\ (sub)	A\ (sub)	D\ (sub)
----------	----------	----------	----------

هر سرویس به‌ترتیب دارای مکان مشخص و ترتیبی است. مثلاً سرویس الف دارای شماره یک و سرویس ب دارای شماره دو است. در صورتی که شماره‌های آنها به کدهای باینری تغییر کنند می‌توان کدهای باینری آنها را در یک ردیف به‌ترتیب قرار داده و اندیس‌های مربوط به مکان‌ها را در یک نگاشت به‌صورت (۶) ضرب نمود

$$\begin{bmatrix} a_{11} & a_{12} & a_{13} & \dots & a_{1y} \\ a_{21} & a_{22} & a_{23} & \dots & a_{2y} \\ \vdots & \vdots & \vdots & \ddots & \vdots \\ a_{x1} & a_{x2} & a_{x3} & \dots & a_{xy} \end{bmatrix} \quad (6)$$

هر اندیس  $x$  و  $y$  به‌ترتیب در  $\begin{bmatrix} 1 \\ k \end{bmatrix}$  ضرب می‌شود ( $k$  فرد است) تا یک مکان جدید تبدیل گردد. در این وضعیت مقدار جدید برابر با (۷) است

$$\begin{bmatrix} x_1 + ky_1 & x_1 + ky_2 & \dots & x_1 + ky_j \\ x_2 + ky_1 & x_2 + ky_2 & \dots & x_2 + ky_j \\ \vdots & \vdots & \ddots & \vdots \\ x_i + ky_1 & x_i + ky_2 & \dots & x_i + ky_j \end{bmatrix} \quad (7)$$

سایز ماتریس  $n \times n$  است. در این وضعیت مقدار  $x$  و  $y$  به‌صورت زیر محاسبه می‌شوند

$$a_{xy} \cdot x_n = (x_i + y_j) \bmod n \quad (8)$$

که  $n$  اندازه ماتریس است و اندیس‌های  $x$  و  $y$  نشان‌دهنده مکان‌های جدید تگ‌ها هستند. جدول ۲ نحوه جابه‌جایی تگ‌ها را نشان می‌دهد

$$Private\ key(PK) = \sum Bit(Tag\ a_i) \times P_i \quad (9)$$

در این وضعیت تگ‌ها در یک عدد اول به‌ترتیب ضرب می‌شوند. نحوه ضرب‌نمودن در عدد اول و به‌دست آوردن کلید اولیه به‌صورت (۱۰) است

$$\begin{bmatrix} pk_1 \\ pk_2 \\ \vdots \\ pk_n \end{bmatrix} = \begin{bmatrix} tag_{11} & tag_{12} & \dots & tag_{1n} \\ tag_{21} & tag_{22} & \dots & tag_{2n} \\ \vdots & \vdots & \ddots & \vdots \\ tag_{n1} & tag_{n2} & \dots & tag_{nn} \end{bmatrix} \times \begin{bmatrix} P_1 \\ P_2 \\ \vdots \\ P_n \end{bmatrix} \quad (10)$$

هر تگ با استفاده از یک عدد اول، یک کلید اولیه دریافت می‌کند که داده را به مکان جدید منتقل می‌نماید. کلید اولیه برای سرویس‌دهنده مقصد ارسال شده تا CSP قادر به بازیابی و دریافت تگ‌ها به حالت اولیه باشد.

```

1: initialization
2: catch n data
3: while n is not equal 0 do
4:   calculating maximum size of n's service
5:   data is divided to n sub services (Eq.5)
6:   while matrix is not full do
7:     for i = 1, i = n, i ++ do
8:       for j = 1, j = n, j ++ do
9:         data_i set in cell_ij of matrix
10:        if data_ij = null then
11:          set cell_ij = null
12:        endif
13:      endfor
14:    endfor
15:  endwhile
16: endwhile
    
```

شکل ۵: جایگذاری داده.

توجه شود که مقدار  $n$  نشان‌دهنده تعداد زیرسرویس‌هایی است که در یک ماتریس  $n \times n$  جایگذاری می‌شوند. حداقل تعداد  $n$ ، سه است و تمامی داده‌ها در یک ماتریس  $n \times n$  جایگذاری می‌شوند؛ لذا هنگامی که میزان تقسیم‌بندی زیرسرویس‌ها به تعداد  $n$  نرسد، مابقی سلول‌های باقیمانده ماتریس با مقدار null پر می‌شوند.

فرمول (۵) نشان‌دهنده نحوه محاسبه مقدار  $n$  در یک ماتریس است

$$\text{if } x \text{ then } n = 3 \text{ else } n = \sqrt{\frac{\sum x}{k}} \quad (5)$$

که در آن،  $n$  طول ماتریس،  $x$  طول هر سرویس و  $k$  تعداد کل سرویس‌ها است.

(B) فاز مبهم‌سازی: استفاده از روش مبهم‌سازی در مخفی کردن داده‌ها به‌عنوان روشی مناسب مطرح است. مبهم‌سازی به معنای خوانانودن داده بوده و به‌منظور محافظت از داده به‌کار می‌رود. البته داده بعد از بازسازی، مجدداً قابل استفاده است. از ابزارهای تغییر ظاهر داده‌ها، الگوریتم‌هایی مانند ابزار ابهام‌سازی دن جاوا اسکریپت<sup>۱</sup> [۱۴] است؛ البته در این مقاله با تولید داده‌های غیرواقعی (کدهای غیرواقعی) سعی در ایجاد ابهام داریم تا در صورت سرقت پک‌ها و حتی بازخوانی کل پک‌ها، سارقین قادر به تشخیص داده‌های صحیح از داده‌های غیرواقعی نباشند.

تولید مداوم این نوع داده‌ها باعث سنگین‌شدن حجم ارسال و دریافت می‌شود. در این مقاله پیشنهاد شده تا داده‌های غیرواقعی به‌صورت اتفاقی<sup>۲</sup> تولید شوند که شامل اعداد، حروف و کاراکتر هستند و ظاهری مشابه داده واقعی دارند. ضمن اینکه این نوع داده‌ها همانند سایر داده‌ها طبق فازهای تعریف‌شده قطعه‌بندی، رمزگذاری و ارسال می‌گردند و تنها سرویس‌دهنده و سرویس‌گیرنده قادر به تفکیک و حذف آنها هستند. در مجموع این مقاله به دنبال پیشنهاد راهی است که ضمن ایجاد ایمنی در داده‌ها، سربار ایجادشده در این روش را در حد پایین نگه دارد.

الگوریتم مبهم‌سازی به‌صورت زیر است:

(۱) سیستم، عدد تصادفی صفر یا یک را تولید کرده و اگر یک بود، یک داده غیرواقعی تولید کرده و طبق الگوریتم بخش A در داخل ماتریس قرار می‌دهد.

1. JavaScript Dan's Obfuscator Tool
2. Random

جدول ۳: نحوه تقسیم‌بندی سرویس.

segmentation	sub ۱	sub ۲	sub ۳	sub ۴
Service one	A۱	A۲	A۳	A۴
Service two	B۱	B۲	B۳	B۴
Service three	C۱	C۲	C۳	C۴
Service four	D۱	D۲	D۳	D۴

A۱	B۱	C۱	D۱
A۲	B۲	C۲	D۲
A۳	B۳	C۳	D۳
A۴	B۴	C۴	D۴



شکل ۶: لایه‌های فازبندی شده امنیت (MLS).

نگاشت تغییر مکان به فرم ماتریس  $(۲ \times ۱)$  است و با فرض نگاشت  $\begin{pmatrix} ۱ \\ ۱ \end{pmatrix}$

اندیس‌ها به صورت زیر تغییر می‌کنند

$$\begin{bmatrix} x_1 + y_1 & x_1 + y_2 & \dots & x_1 + y_n \\ \vdots & \vdots & \ddots & \vdots \\ x_n + y_1 & x_n + y_2 & \dots & x_n + y_n \end{bmatrix} \quad (۱۱)$$

مقدار  $x$  و  $y$  به صورت فرمول زیر محاسبه می‌گردند

$$\begin{aligned} X_n &= x_i + y_i \pmod{۴} \\ \text{if } x_n = 0 &\rightarrow x_n = n \end{aligned} \quad (۱۲)$$

جایگذاری مقادیر در مکان‌های جدید به صورت زیر است

B۱	C۱	D۱	A۱
C۲	D۲	A۲	B۲
D۳	A۳	B۳	C۳
A۴	B۴	C۴	D۴

هر زیرسرویس یک مکان جدید و اندیس‌هایی مشخص به صورت زیر دارد

$$\begin{aligned} A_1 &= ۱, B_1 = ۲, C_1 = ۳, D_1 = ۴, \dots \\ A_r &= ۱, B_r = ۲, C_r = ۳, D_r = ۴, \dots \end{aligned}$$

تمام اندیس‌ها به کد باینری تبدیل و در یک عدد اول ضرب می‌شوند تا جدول ۴ به دست آید

$$\begin{bmatrix} ۲ \\ ۳ \\ ۵ \\ ۷ \\ ۱۱ \\ ۱۳ \\ ۱۷ \\ ۱۹ \\ ۲۳ \\ ۲۹ \\ ۳۱ \\ ۳۷ \end{bmatrix} \times \begin{bmatrix} ۰ & ۱ & ۰ & ۰ & ۱ & ۱ & ۱ & ۰ & ۰ & ۰ & ۰ & ۱ \\ ۰ & ۱ & ۱ & ۱ & ۰ & ۰ & ۰ & ۰ & ۱ & ۰ & ۱ & ۰ \\ ۱ & ۰ & ۰ & ۰ & ۱ & ۰ & ۱ & ۰ & ۰ & ۱ & ۱ & ۰ \\ ۰ & ۰ & ۱ & ۰ & ۱ & ۰ & ۰ & ۱ & ۱ & ۱ & ۰ & ۰ \end{bmatrix} \quad (۱۳)$$

طبق (۱۴)، اگر طول کدهای باینری ۲۳ باشد در یک ماتریس  $۴ \times ۴$ ، ۱۲ بار ضرب می‌شود. شکل ۷ نشان‌دهنده نحوه تولید یک کلید خصوصی توسط ضرب یک ردیف در یک عدد اول است

در جدول ۲،  $p$  عددی اول است که با الگوریتم دِفی هلمن<sup>۱</sup> در سلول خاص جایگذاری می‌شود. مطابق با الگوریتم ویدمن<sup>۲</sup> [۸] به عنوان یکی از روش‌های مؤثر در ارسال داده، هر ماتریس در سه مرحله به یک بردار تبدیل می‌گردد. این کار به منظور ارسال کردن یک پردازش به یک CSP انجام می‌شود.

الگوریتم ویدمن تولیدکننده سیستم خطی برای فضای محدود است. در صورتی که ماتریس  $M$  دارای یک ماتریس  $n \times n$  باشد و  $x$  یک بردار تصادفی باشد، مقدار  $S = [x, Mx, M^2x, \dots]$  نشان‌دهنده بردار ترتیبی است که یک بردار را برای ماتریس  $M$  تولید می‌کند. در صورتی که  $z$  بردار دیگری با طول  $n$  باشد، بردار  $S_z = [z.x, z.Mx, z.M^2x, \dots]$  تولید می‌شود؛ به طوری که  $w = \sum_{k=0}^{n-1} z.M^k.x$  است که چندجمله‌ای  $w$  با مقدار حداقل است و مقدار  $n$  از مقدار  $n$  بزرگ‌تر نیست.

پس از آنکه داده در جایگشت جدید جایگذاری شد با استفاده از الگوریتم ویدمن، تبدیل به بردار می‌شود و به صورت ردیف به ردیف برای CSP ارسال می‌گردد. تفاوت رویکرد ما با الگوریتم ویدمن در این است که مقدار بردار به دست آمده تبدیل به یک رشته نمی‌شود و به صورت یک ردیف برای مقصد ارسال می‌گردد.

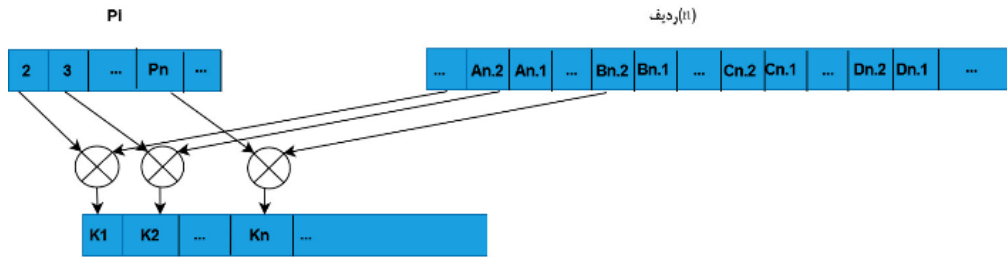
**(D) فاز رمزگذاری:** در این مرحله، هر ماتریس که مشتمل بر سرویس رمزگذاری شده است با استفاده از الگوریتم رمزگذاری متقارن یا نامتقارن برای ارسال آماده می‌شود؛ به گونه‌ای که SB قادر به رمزگشایی و تفکیک سرویس‌های رمزگذاری از یکدیگر است.

شکل ۶ فازهای انجام‌دادن هر مرحله را نشان می‌دهد. مقدار کلید به دست آمده که برای CSP ارسال می‌شود، یکتاست. در صورت مقودی هر یک از پک‌ها، گیرنده می‌تواند دوباره درخواست خود را به کارگزار ارسال نماید.

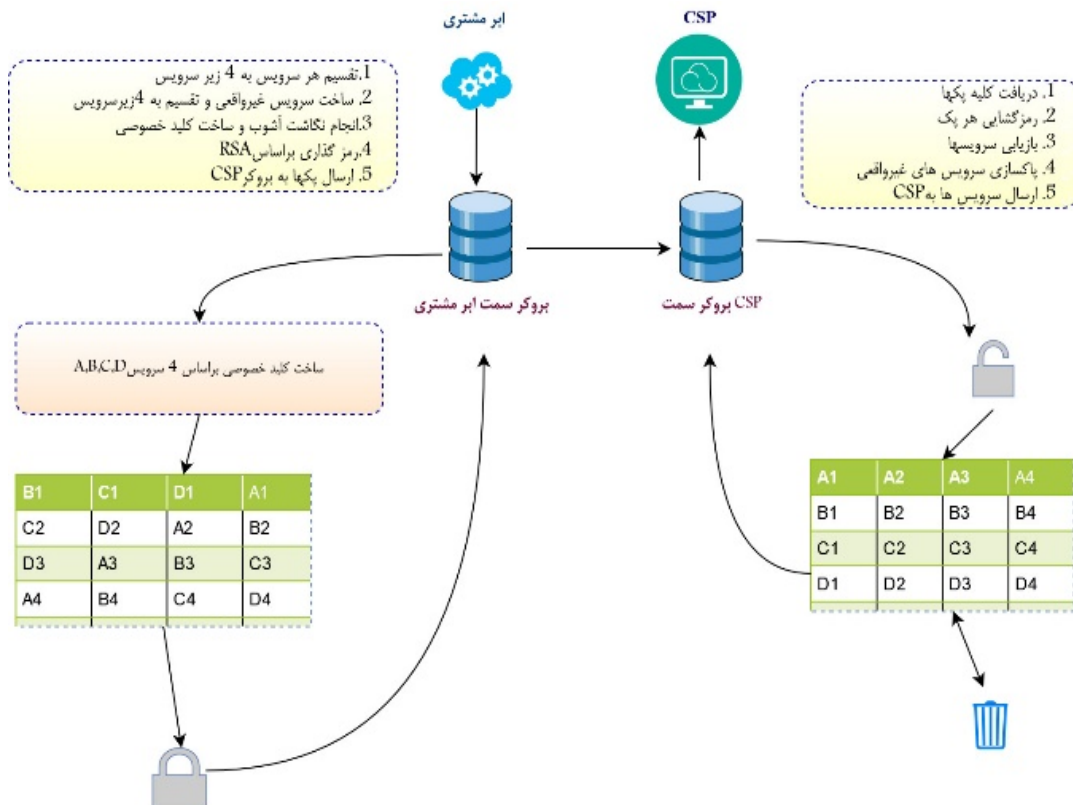
### ۱-۵ مثال

شرح رویکرد پیشنهادی با یک مثال در ادامه آمده است. با فرض اینکه تمامی سرویس‌ها دارای طول واحد ۸ باشند، طول هر زیرسرویس ۴ است؛ بنابراین سرویس‌ها و سرویس‌های غیرواقعی به ۴ زیرسرویس تقسیم و جایگذاری می‌شوند. در صورتی که هر زیرسرویس در یک سلول به صورت جدول ۳ تقسیم‌بندی شود، بر اساس قسمت A، زیرسرویس‌های یک سرویس در یک ستون ماتریس جایگذاری گردیده و نحوه جایگذاری در ذیل آمده است

1. DiffieHellman Algorithm
2. Wiedemann's Algorithm



شکل ۷: تولید پیش کلید در یک ردیف.



شکل ۸: مثال معماری ارسال و دریافت داده در رویکرد MLS.

مقدار  $2^{28} \times 2^{20} = 2^{48}$  می شود؛ بنابراین برای چهار قسمت محاسبه شده، مقدار کلید  $2^{48} \approx 3,8 \times 10^{14}$  است؛ بنابراین فضای کلید برای هر قسمت  $2^{12}$  می باشد. در صورتی که فضای کلید استاندارد را به اندازه  $2^{128} \approx 3,4 \times 10^{38}$  در نظر بگیریم، اندازه کلید مطلوب است. هر رایانه در طول یک سال می تواند  $3,1 \times 10^7$  پردازش در هر ثانیه انجام دهد و سریع ترین رایانه می تواند  $2^{80}$  یا  $1,2 \times 10^{24}$  پردازش در ثانیه را انجام دهد ( $3,8 \times 10^{31}$  پردازش در یک سال)؛ بنابراین کلید ما  $3,16 \times 10^{23} = (3,8 \times 10^{31}) / (1,2 \times 10^{24})$  ثانیه نیاز به رمزگشایی دارد. یک سارق نیازمند  $2^{128} / 2^{80} = 2^{48}$  ثانیه یا  $10^{12}$  سال جهت رمزگشایی است؛ بنابراین فضای کلید پیشنهادی به اندازه کافی قوی است. جدول ۵ مقایسه بین فضای کلید تولید شده در سایر روش ها و روش ما را نشان می دهد. در این وضعیت در صورتی که فضای کلید بالاتر از استاندارد باشد، حد مطلوب را کسب نموده است.

همان گونه که بیان گردید، هر سرویس پس از آن که به زیرسرویس تقسیم و مبهم سازی شد، وارد فاز تولید کلید و آماده سازی برای ارسال به صورت بردار می شود و نهایتاً الگوریتم RSA بر روی آن اجرا می گردد. کلیه مراحل عنوان شده را می توان در شکل ۸ مشاهده نمود. ما برای نمایش ساده تر الگوریتم ها از نمادهایی جهت معرفی متغیرها استفاده می کنیم. جدول ۶ نشان دهنده نحوه نام گذاری متغیرهاست.

جدول ۴: ضرب کد باینری با عدد اول.

Tag B <sub>۱</sub>	Tag C <sub>۱</sub>	Tag D <sub>۱</sub>	Tag A <sub>۱</sub>
۰ ۱ ۰ ۰ ۱ ۱ ۱ ۰ ۰ ۰ ۰ ۱	۰ ۱ ۰ ۰ ۱ ۱ ۱ ۰ ۰ ۰ ۰ ۱	۰ ۱ ۱ ۱ ۰ ۰ ۰ ۰ ۱ ۰ ۱ ۰	۰ ۱ ۰ ۰ ۱ ۱ ۰ ۰ ۱ ۱
Tag C <sub>۲</sub>	Tag D <sub>۲</sub>	Tag A <sub>۲</sub>	Tag B <sub>۲</sub>
۰ ۱ ۱ ۱ ۰ ۰ ۰ ۰ ۱ ۰ ۱ ۰	۱ ۰ ۰ ۰ ۰ ۱ ۰ ۱ ۰ ۰ ۱ ۱	۱ ۰ ۰ ۰ ۱ ۰ ۱ ۰ ۰ ۱ ۱	۰ ۰ ۱ ۰ ۱ ۰ ۰ ۱ ۱ ۰ ۰
Tag D <sub>۳</sub>	Tag A <sub>۳</sub>	Tag B <sub>۳</sub>	Tag C <sub>۳</sub>
۰ ۰ ۱ ۰ ۱ ۰ ۰ ۱ ۱ ۱ ۰ ۰	۰ ۰ ۱ ۰ ۱ ۰ ۰ ۱ ۱ ۰ ۰	۰ ۰ ۱ ۰ ۱ ۰ ۰ ۱ ۱ ۰ ۰	۲ ۳ ۵ ۷ ۱۱ ۱۳ ۱۷ ۱۹ ۲۳ ۲۹ ۳۱ ۳۷
Tag A <sub>۴</sub>	Tag B <sub>۴</sub>	Tag C <sub>۴</sub>	Tag D <sub>۴</sub>

$$\text{if } \begin{cases} 1 & \text{then } tag_i \times P_i = \cdot \\ tag_i \times P_i & \text{otherwise} \end{cases} \quad (14)$$

### ۵-۲ فضای کلید

در مثال بیان شده، مقدار فضای کلید به دست آمده  $2^{20} \approx 1,072445$  و حداقل مقدار کلید  $2^{16} \approx 73815$  است. اگر طول هر لیبل را ۸ کاراکتر در نظر بگیریم، مقدار  $P_i \geq 2^{23}$  و مقدار کلید برای قسمت اول بزرگ تر از



ورودی:  $n$  تولیدشده از (۵)

خروجی: ارسال پکها و کلید خصوصی به کارگزار

ورودی: پکها

خروجی: بازساخت سرویس در کارگزار CSP

```

1: while pack is greater than 0 do
2:   Get PK and pack and decrypt
3:   Copy this pack in to a list
4:   Relocate each cell by PK
5: end while
6: while list is greater than 0 do
7:   Find FS and remove from list
8:   Get each part of element and arrange together
9:   Set each element in service part
10:  if list is empty then
11:    select next list
12:  else send fault message to sender
13:  endif
14: endwhile

```

شکل ۱۱: رمزگشایی و ساخت سرویس در کارگزار CSP.

جدول ۵: مقایسه فضای کلید در رویکردهای مختلف.

رویکرد	مجموع فضای کلید
MLS	$2^{178}$
[۲۵]	$2^{170}$
[۲۶]	$2^{170}$
[۲۷]	$2^{186}$

جدول ۶: نمادها و توصیف متغیرهای استفاده‌شده در الگوریتم.

نماد	توضیحات
$i$	تعداد پردازش‌ها
$EP_i$	تقسیم هر سرویس به $n$ قسمت
$T_i$	تگ نشانه‌گذاری سرآیند هر پک
$IP_i$	آرایه کمکی جهت جایگذاری تکه‌ها در سلول مشخص‌شده
$x$	شماره پردازنده تصادفی
$FS_x$	سرویس غیرواقعی
$PK$	کلید خصوصی تولیدشده با توجه به (۹)
$k$	شماره آرایه
$P_k$	آرایه موقت که هر بخش را قبل از ارسال در آن ذخیره می‌کند.
$P$	عدد اول

الگوریتم ۲ (شکل ۹) نشان‌دهنده نحوه ساخت MLS در سمت مشتری است و الگوریتم ۳ (شکل ۱۰) طریقه ساخت کلید خصوصی در کارگزار را نشان می‌دهد. در واقع الگوریتم ۳، زیربخش الگوریتم ۲ است. الگوریتم ۴ (شکل ۱۱) نحوه بازخوانی و رمزگشایی CSP را نشان می‌دهد.

## ۶- ارزیابی کارایی و آزمایش‌ها

این قسمت با در نظر گرفتن انجام رخدادها و حملاتی که می‌تواند صورت گیرد، اندازه‌گیری میزان خطای سیستمی و جراثمی را که به سیستم تخصیص می‌یابد اندازه‌گیری می‌کند.

### ۶-۱ آنالیز کارایی

برای ارزیابی میزان کارایی در الگوریتم MLS با استفاده از زمان اجرا و جراثم تخصیصی، نیازمند آن هستیم که رابطه بین امنیت و میزان رضایت مشتری را با کارایی ارزیابی کنیم. امنیت و کارایی در هر سیستم، نقشی اساسی دارند و افزایش زمان برای رمزگذاری سرویس می‌تواند منجر به کاهش میزان کارایی و دسترس‌پذیری برای پاسخ به مشتری شود. برای ارزیابی کارایی، سه سناریو را در نظر می‌گیریم. اولین سناریو بر اساس

```

1: initialization
2: Set header for each pack
3: while element of list is greater than 0 do
4:    $EP_i$  is divided to  $n$  sub services (Eq.5)
5:   Select each sub and arrange cells in the array ( $p$ ) sequentially
6:   if  $y_i = null$  then
7:     set all remain column, by null
8:   endif
9:   if service is traced then
10:    make random number (0or1)
11:   endif
12:   if  $A = 1$  Make FS and arrange in the array then
13:     Divide FS to  $n$  subs that has calculated
14:     Select each sub and arrange in the array's cells ( $p$ ) sequentially
15:   endif
16:   go to the next service
17:   pack list
18:   Set T and permute them in cells and make PK(Algorithm3) and arrange in IP
19: endwhile
20: while pack is greater than 0 do
21:   encrypt pack by RSA
22:   Send Packs and PK to the Broker
23: endwhile

```

شکل ۹: رمزگذاری سرویس در بخش امنیت کارگزار مشتری.

ورودی: ماتریس  $n \times n$

خروجی: ساخت کلید خصوصی سطر به سطر

```

1: get T of each matrix
2: select k
3:  $P_i \leftarrow 0$ 
4: for  $i = 1$  to  $n$  do
5:   for  $j = 1$  to  $n$  do
6:      $x_{ij} = i + k * j$ 
7:      $x_{ij} \leftarrow x_{ij} \bmod n$ 
8:     if  $x_{ij} = 0$  then
9:        $x_{ij} \leftarrow n$ 
10:    endif
11:    transition each part to new T;
12:  endfor
13: for  $z = 1$  to  $n * \text{amountbitword}$  do
14:    $(PK) = (\text{Bitwordtag}) * P_i * (PK)$ 
15:   if  $\text{Bitwordtag} == 0$  then go next
16:  endif
17: endfor
18: save PK and send by each row;
19:  $PK \leftarrow 0$ 
20: endfor

```

شکل ۱۰: جایگذاری قسمت‌ها و ساخت کلید خصوصی (PK).

$EP_i$  نشانه تقسیم‌بندی سرویس با شماره پردازش  $i$  است که بر اساس میزان سرویس‌ها و اندازه آنها بر اساس (۵) محاسبه می‌شود. نکته این‌که محاسبه مقادیر بزرگ برای  $n$  و در نتیجه ایجاد ماتریس با ابعاد بزرگ ممکن است باعث ایجاد افزونگی و کندی در عملکرد سیستم شود.  $P_k$  آرایه موقت است که هر سرویس قبل از جایگذاری در ماتریس بر اساس شماره آرایه ( $k$ ) در آن قرار می‌گیرد.  $IP_i$  آرایه دوبعدی است که هر قسمت را به صورت موقت در یک لیست نگهداری می‌کند. تگ‌پک‌ها باید در داخل  $IP_i$  نگهداری شوند. در زمان اجرای سیستم، سیستم نیازمند تولید  $FS_x$  به صورت تصادفی بوده و  $X$  نمایش‌دهنده شماره پردازش غیرواقعی است. بر اساس (۷)، کلیدهای خصوصی و نگاشت‌ها جهت رمزگذاری تولید و رمزگذاری RSA بر روی لیست‌های آماده ارسال، اجرا می‌شود تا کارگزار درخواست‌ها را به CSP ارسال نماید.

کارگزار مقصد پس از دریافت پک‌ها، رمزگشایی کلید و برگرداندن سرویس‌ها به حالت اولیه را بر اساس تگ‌های مندرج انجام می‌دهد. کارگزار با استفاده از تگ‌ها، سرویس‌های غیرواقعی را شناسایی و حذف می‌کند. پس از جایگذاری زیرسرویس‌ها در کنار هم، سرویس‌های سالم شناسایی و با استفاده از هیدر به صورت یک سرویس کامل برای اجرا ارسال می‌کند [۶].

جدول ۷: مقایسه بین خروجی سایررها.

آزمایش	متوسط درصد جریمه تخصیصی	جریمه تخصیصی	کل جریمه قابل تحمیل	زمان انجام رمزگذاری ها (میلی ثانیه) *	متوسط زمان انجام سرویس ها (میلی ثانیه) *
FCFS	۷۶/۴۱	۱۲۰۵	۱۵۷۷	۰	۲۵۴
FCFS (ECC)	۲۰	۲۶۲	۱۳۲۶	۱۷	۳۰۲
MLSRCT	۸۴	۱۱۹۱	۱۴۱۳	۲۶	۲۵۳
MLS	۱۵	۱۹۵	۱۲۹۰	۳۰	۲۵۱

\* متوسط زمان انجام رمزنگاری و متوسط زمان انجام سرویس به ازای هر ۱۰۰ کاربر محاسبه شده است. زمان رمزنگاری در زمان انجام سرویس محاسبه نشده است.

الگوریتم  $FCFS^1$  و  $FCFS (ECC)^2$  است که در حالت دوم، رمزگذاری ECC بر روی سرویسها اجرا می شود تا سیستم ارزیابی، میزان جرائم تخصیصی را مشخص کند. سناریوی دوم بر اساس پیاده سازی MLS بدون اختصاص دادن زمان برای اجرای عملیات رمزگذاری است. نهایتاً سناریوی سوم MLS با احتساب زمان انجام رمزگذاری پیاده سازی می شود. این آزمایش، ضریب تأثیر امنیت، کارایی و دسترس پذیری را مورد ارزیابی قرار می دهد. بیشترین ضریب تأثیر برای متغیر امنیت و ضرایب پایین تر به ترتیب برای متغیرهای کارایی و دسترس پذیری در سیستم در نظر گرفته می شود. سیستم بنا به نیاز خود و اولویت بندی به صورت اتوماتیک و در صورت عدم تحقق هر یک از متغیرها، جریمه ای را که برای هر سرویس (عدد بین ۰ تا ۹) در نظر گرفته است به عنوان جریمه، تخصیص می دهد که مجموع این جرائم بعد از وزن گذاری (فرمول (۲))، میزان جریمه تخصیصی به متغیر را نمایش می دهد.

برای متغیر امنیت، پارامترهای دیوار آتشین، رمز، مسیریاب، ترافیک شبکه، امنیت IP، خرابی و گم شدن داده در نظر گرفته شده است. متغیر دسترس پذیری به معنای زمان در دسترس بودن سیستم و ارائه خدمات نسبت به مجموع زمانی است که سیستم خراب، خاموش، بیکار یا در حال انجام خدمت است. متغیر کارایی نیز به پارامتر برآیند زمان انجام سرویس به زمان کارکرد CPU بستگی دارد.

در زمان پیاده سازی روش پیشنهادی در شبیه سازی، اولویت دهی و شماره گذاری بر روی آنها انجام پذیرفته و شبیه ساز بر همین اساس، میزان جرائم را محاسبه می نماید. ضمن اینکه در قسمت قبل، تعریف کلید خصوصی و معتبر بودن فضای کلید نسبت به سایر رویکردها بررسی گردیده و در ادامه، بازدهی سیستم در مقایسه با سایر رویکردها نمایش داده می شود. ضمن اینکه بررسی تأثیر روش پیشنهادی بر روی انواع حملات رایج، میزان مقاومت روش پیشنهادی و سناریوهای مرتبط با آن در کارهای آینده بررسی خواهد شد.

## ۶-۲ شبیه سازی

برای انجام دادن آزمایشها از شبیه ساز کلودسیم<sup>۳</sup> برای محاسبه و پیاده سازی سیاستهای اجرایی استفاده شده است. یکی از شبیه سازهای پرکاربرد برای پیاده سازی، پردازش و ارسال درخواست پیامها در شبکه،

1. First Come First Service
2. Elliptic Curve Cryptography
3. CloudSim

کلودسیم است [۲۸] که قادر است تا منابع ابری و وظیفه مندی آنها را شبیه سازی نماید. این شبیه ساز شامل داده های کلاس سرور است که برای مدیریت منابع، وظیفه مندی و انتقال سرویسها مناسب است [۲۹] و [۳۰]. تمام آزمایشها بر اساس یک ماشین x68، سیستم عامل ویندوز و ماشین مجازی ساز Xen انجام گردیده و روش تولید دادهها به صورت تصادفی است.

سیستم با توجه به (۲)، جریمه قابل تحمیل را محاسبه می کند و در صورتی که سرویس در اجرای هر متغیر شکست بخورد، عدد جریمه قابل تحمیل در هر متغیر را به عنوان جریمه تخصیصی اعلام می کند. در واقع جریمه قابل تحمیل، حداکثر میزان جریمه ای است که سیستم با توجه به پارامترها و ضرایب آنها برای هر متغیر محاسبه می کند و جریمه تخصیصی، میزان جریمه ای است که پس از انجام سرویس در صورت شکست در اجرای هر متغیر به عنوان جریمه تخصیصی برای هر متغیر به سیستم اعلام می کند. مقدار کل جریمه تخصیصی نیز از مجموع جرائم تخصیصی در سه متغیر امنیت، کارایی و دسترس پذیری در یک سیستم به دست می آید. بر این اساس، آزمایش اول با شرایط گفته شده و با سیاست FCFS [۳۰] انجام می شود. در این حالت نتایج به صورت زیر است:

- انجام آزمایش بر اساس سیاست FCFS است.
- زمان انجام عملیات رمزگذاری صفر است؛ زیرا سیاست رمزگذاری در سیستم وجود ندارد.
- متوسط زمان انجام سرویس برای هر درخواست ۲۵۴ میلی ثانیه به ازای هر ۱۰۰ کاربر است.
- جریمه تخصیصی سیستم ۱۲۰۵ از مجموع ۱۵۷۷ جریمه قابل تحمیل است؛ بنابراین ۷۶/۴۱٪ سرویسهای انجام یافته شامل جریمه تخصیصی شده اند.

در صورتی که همین سیاست را با اضافه کردن الگوریتم رمزگذاری ECC اجرا نماییم نتایج همانند جدول ۷ می شود.

آزمایش دوم بر اساس سیاست لایه گذاری MLS بدون اختصاص زمان برای عملیات رمزگذاری انجام شد که آن را  $MLSRCT^4$  نام گذاری کردیم. برای انجام آزمایش، سیستم نیازمند زمان جهت انجام عملیات رمزگذاری است و به دلیل اینکه این امکان به آن داده نمی شود، سیستم شامل جریمه تخصیصی سنگینی می شود. این امر نشان دهنده اهمیت تخصیص زمان برای انجام عملیات رمزگذاری در سیستم است.

- سیستم برای انجام عملیات رمزگذاری به طور متوسط نیازمند ۲۶ میلی ثانیه به ازای هر ۱۰۰ کاربر است.
- متوسط زمان انجام هر سرویس ۲۵۳ میلی ثانیه است که به لحاظ ایجاد یک محیط استاندارد، تقریباً با متوسط زمان اجرای سایر آزمایشها مشابه است.
- جریمه تخصیصی سیستم ۱۱۹۱ از مجموع ۱۴۱۳ جریمه قابل تحمیل است؛ بنابراین ۸۴٪ سرویسهای انجام یافته شامل جریمه تخصیصی شده اند.

این آزمایش بر اساس انجام عملیات رمزگذاری لایه ای انجام شده است؛ ولی سیستم زمان اضافه ای برای انجام این کار ندارد.

آزمایش سوم بر اساس انجام سیاست لایه ای MLS و با افزایش زمان اجرا برای انجام سرویس و عملیات رمزگذاری انجام می شود.

- سیستم برای انجام عملیات رمزگذاری به طور متوسط نیازمند ۳۰ میلی ثانیه به ازای هر ۱۰۰ کاربر است.

جدول ۸: متوسط زمان اجرا و رمزگذاری در روش‌های مختلف.

آزمایش	متوسط زمان رمزگذاری (میلی ثانیه)	متوسط زمان انجام سرویس (میلی ثانیه)	نسبت متوسط زمان رمزگذاری به متوسط زمان انجام سرویس
FCFS	۰	۲,۵۴	۰
MLSRCT	۰,۲۶	۲,۵۳	۰,۱
MLS	۰,۳	۲,۵۱	۰,۱۲
CSCA [۱۰]	۱,۶	۲	۰,۸
BS-MQTT [۱]	۱,۵	۲,۴	۰,۶۳
SSLO [۳۱]	۳,۷	۷,۲	۰,۵۱

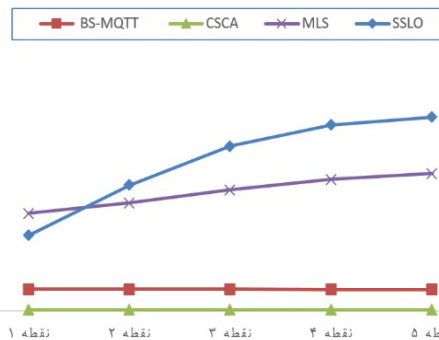
جدول ۸ متوسط زمان انجام سرویس روش پیشنهادی را در مقایسه با سایر روش‌های موجود نشان می‌دهد. یکی از مزایای عملیات رمزگذاری، کاهش زمان به‌منظور افزایش قابلیت سرویس‌دهی است. در واقع روشی می‌تواند مؤثر و بهینه باشد که علاوه بر محفوظ نگه‌داشتن داده‌ها، زمان کمتری جهت انجام عملیات رمزگذاری صرف کند که این امر در جدول ۸ در مقایسه با سایر رویکردها آمده است. در این جدول متوسط زمان اجرای عملیات رمزگذاری در دو آزمایش MLS و MLSRCT نسبت به سایرین کمترین است. همچنین نسبت زمان رمزگذاری به زمان اجرا در MLS و MLSRCT در مقایسه با سایر روش‌های موجود کمترین است؛ اما MLS کمترین میزان جریمه تخصیصی نسبت به سایر رویکردها را دارد. محاسبه بازدهی خروجی ( $Th$ ) به‌صورت (۱۶) است.  $M$  میزان پردازش‌های انجام‌یافته و  $T$  زمان انجام پردازش‌هاست

$$Th = \frac{M}{T} \quad (16)$$

شکل ۱۲ نمایش میزان بازدهی خروجی را بر اساس (۱۶) در رویکردهای متفاوت نشان می‌دهد. به‌منظور نرمال‌سازی میزان خروجی‌ها هر برآیند در هر نقطه محاسبه و نرمال‌سازی شده است. SSLO در هر نقطه میزان CSP های خود را ۱۰۰ واحد افزایش می‌دهد که این امر باعث افزایش بازدهی در خروجی می‌شود. در نتیجه، بازدهی دو رویکرد MLS و SSLO با اختلاف زیاد نسبت به دو رویکرد دیگر بهتر هستند.

شکل ۱۳ مقایسه‌ای جامع را بین سه آزمایش نشان می‌دهد. شکل ۱۳-الف، مقایسه جریمه تخصیصی در متغیر کارایی، شکل ۱۳-ب، مقایسه میزان جریمه تخصیصی بر اثر نقص متغیر دسترس‌پذیری و شکل ۱۳-ج، جریمه تخصیصی در متغیر امنیت است. هر بخش بر اثر پارامترهای مؤثر، مقدار صفر تا ۹ را می‌پذیرد و بر اثر وزنی که دریافت می‌کند میزان جریمه تخصیصی محاسبه می‌شود.

این مقاله از عددگذاری پویا در زمان وزندهی بر اساس پارامترهای هر متغیر استفاده می‌نماید؛ به دلیل آن که ممکن است ضریب دسترس‌پذیری در یک سرویس، بالاتر از کارایی باشد و در سرویس دیگر بالعکس. در حالی که تخصیص اعداد ثابت به سیستم میزان وزن ثابت را تولید می‌نماید و نهایتاً خروجی سیستم همواره یک عدد ثابت خواهد بود. در واقع سیاست تخصیص عدد بر عهده سیستم است که به هر سرویس بنا به نیازهای تعریف‌شده، عددی را به‌عنوان جریمه قابل تحمیل، تخصیص دهد؛ ولی محدوده هر عدد نباید خارج از دامنه ۰ تا ۹ باشد.



شکل ۱۲: مقایسه بازدهی خروجی در چهار رویکرد.

- متوسط زمان انجام هر سرویس ۲۵۱ میلی‌ثانیه است که به لحاظ ایجاد یک محیط استاندارد، تقریباً با متوسط زمان اجرای سایر آزمایش‌ها مشابه است.

- جریمه تخصیصی سیستم ۱۹۵ از مجموع ۱۲۹۰ جریمه قابل تحمیل است؛ بنابراین ۱۵٪ سرویس‌های انجام‌یافته شامل جریمه شده‌اند.

در نتیجه سیاست MLS می‌تواند داده‌ها و سرویس‌ها را منتقل نماید و جریمه تخصیصی کمتری بپردازد.

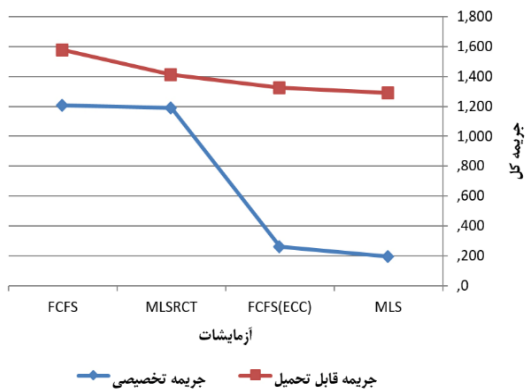
### ۳-۶ آنالیز خروجی

همان گونه که گفته شد، داده‌ها به‌صورت تصادفی در شبیه‌ساز تولید می‌شوند و میزان زمان انجام سرویس و رمزگذاری نزدیک به یکدیگر است. برای اثبات میزان تأثیرگذاری متغیر امنیت بر روی سیستم، نیازمند اثبات میزان جرائم تخصیصی و بازدهی سیستم هستیم. طبق (۱۵)، کل زمان از ابتدا تا انتها  $T_i$  است که شامل  $T_i$  (میزان زمان اولیه جهت ارسال درخواست به کارگزار)،  $T_e$  (زمان مورد نیاز جهت انجام عملیات رمزگذاری) و  $T_c$  (میزان زمان اجرای پردازش) است [۱]

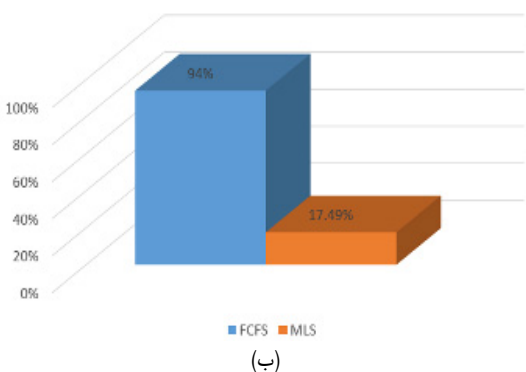
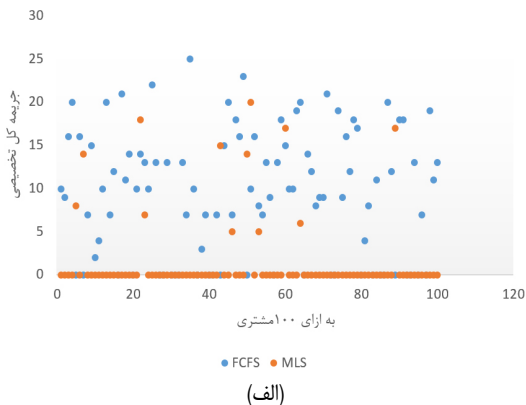
$$T_i = T_e + T_c - T_i \quad (15)$$

جدول ۷ نتایج به‌دست آمده را نشان می‌دهد. سیستم قبل از شروع انجام سرویس، مقادیر جریمه را برای هر متغیر در نظر می‌گیرد (کل جریمه قابل تحمیل) و در صورت عدم تحقق متغیرها، جریمه در نظر گرفته شده را به آن تخصیص می‌دهد (جریمه تخصیصی). مثلاً در آزمایش MLS حداکثر میزان جریمه‌ای که توسط سیستم پیش‌بینی شده (جریمه قابل تحمیل)، ۱۲۹۰ بوده است. بعد از تکرار ۱۰ مرتبه که در هر مرتبه ۵ سرور و هر سرور ۱۰۰ کاربر را پشتیبانی می‌نماید، متوسط جریمه تخصیصی، ۱۹۵ به سیستم تخصیص داده می‌شود؛ بنابراین نسبت متوسط جریمه تخصیصی به متوسط جریمه قابل تحمیل ۱۵٪ خواهد شد.

برای آن که بتوان سایر متغیرها را با یکدیگر مقایسه نمود، زمان انجام سرویس یکسان‌سازی شده و بر این اساس MLS و MLSRCT نیازمند زمان انجام رمزگذاری هستند. آزمایش دو در واقع همان روش پیشنهادی ماست؛ با این تفاوت که سیستم، دیگر زمانی جهت انجام عملیات رمزگذاری به زمان کل اضافه نمی‌نماید و باعث بروز خسارت و جریمه سنگین به کل سرویس‌ها می‌گردد. در واقع هدف از عنوان آزمایش دوم (MLSRCT) بیان این است که حتی اگر عملیات رمزگذاری به‌درستی صورت پذیرد و از نشت داده در شبکه جلوگیری کند، ولی سیستم زمانی جهت انجام عملیات رمزگذاری اختصاص ندهد، میزان جرائم تخصیصی تا چه اندازه می‌تواند افزایش یابد و حتی از میزان جرائم مربوط به آزمایش FCFS نیز بیشتر گردد و کل سیستم را با مخاطره مواجه سازد.



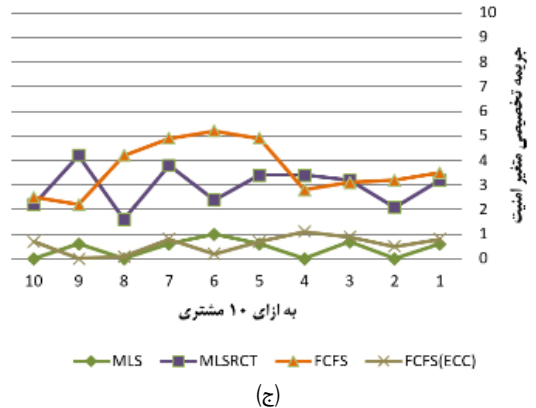
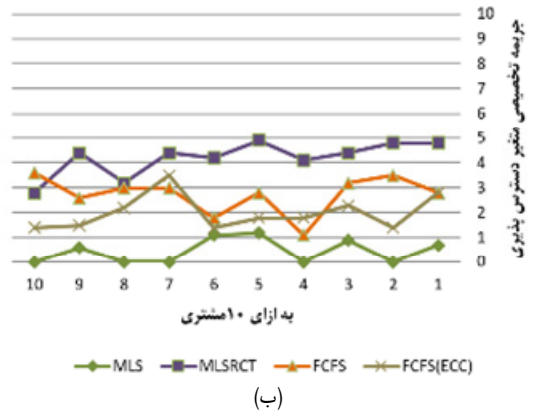
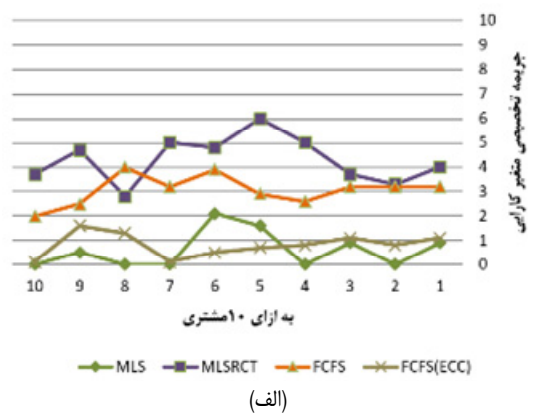
شکل ۱۴: مقایسه جرایم قابل تحمیل و تخصیصی در رویکردهای مختلف.



شکل ۱۵: (الف) مقایسه هزینه جریمه در MLS و FCFS و (ب) نمودار ستونی درصد هزینه جریمه در MLS و FCFS.

شکل ۱۴ مقایسه کلی بین حداکثر آستانه جریمه قابل تحمیل و میزان جریمه تخصیصی را نشان می‌دهد. رنگ قرمز نشان‌دهنده میزان جریمه قابل تحمیل در هر آزمایش و رنگ آبی نیز میزان جریمه تخصیصی را نشان می‌دهد. در این وضعیت MSLRCT و FCFS به ترتیب کمترین میزان اختلاف و رویکرد پیشنهادی MLS بیشترین میزان اختلاف را دارد؛ بنابراین MLS می‌تواند میزان جرائم را تا ۶۱/۴۱٪ کاهش دهد.

شکل ۱۵- الف مقایسه بین هزینه جریمه آزمایش اول (FCFS) و سوم (MLS) را نشان می‌دهد. هر نقطه نشان‌دهنده ۱۰۰ مشتری است که پس از انجام سرویس، سیستم شامل جریمه تخصیصی شده است. طبق شکل، میزان جریمه در آزمایش سوم (MLS) به طرز چشم‌گیری کاهش دارد. بخش دوم شکل ۱۵- ب، نمودار میله‌ای مقایسه بین دو آزمایش و میزان کاهش جریمه تخصیصی را نشان می‌دهد. مطابق با شکل ۱۵- ب، درصد جریمه تخصیصی در آزمایش اول (FCFS) به اندازه ۹۴٪ است؛ این در حالی است که درصد جریمه تخصیصی در آزمایش سوم (MLS) ۱۷/۴۹٪ است؛ بنابراین رویکرد پیشنهادی در برابر حملات و پیشگیری از حمله مؤثر است.



شکل ۱۳: نمودار مقایسه‌ای جرایم تخصیصی در سه متغیر (الف) کارایی، (ب) دسترسی‌پذیری و (ج) امنیت.

در شکل ۱۳ محور  $x$  نشان‌دهنده متوسط جریمه تخصیصی به‌ازای ۱۰ مشتری می‌باشد. جریمه کارایی به این دلیل رخ می‌دهد که سرویس‌دهنده نمی‌تواند کار سپرده‌شده را در زمان تعیین‌شده به سرانجام برساند. در آزمایش MSLRCT جریمه تخصیصی در متغیر کارایی به این دلیل رخ می‌دهد که سیستم فقط زمان انجام عملیات نقل و انتقال و انجام سرویس را در نظر گرفته و زمانی جهت انجام عملیات رمزگذاری در نظر نگرفته است. در نتیجه پس از انجام عملیات رمزگذاری، زمان در نظر گرفته شده جهت انجام خدمت ممکن است به اتمام برسد و این امر سبب تخصیص جریمه در متغیر کارایی گردد. در مقابل در آزمایش مربوط به MLS، سیستم زمان لازم جهت انجام عملیات رمزگذاری را به زمان انجام سرویس اضافه می‌نماید و باعث می‌گردد کلیه عملیات رمزگذاری، نقل و انتقال و انجام سرویس در زمان تعیین‌شده انجام پذیرد و بازدهی متغیر کارایی، افزایش و میزان جریمه تخصیصی به متغیر کارایی، کاهش یابد. در متغیر امنیت، MLS دارای جریمه تخصیصی کمتری نسبت به FCFS (ECC) است؛ ضمن آن که روش پیشنهادی ما بازدهی متغیرهای کارایی و دسترسی‌پذیری را اصلاح می‌کند.



پس از تکرار آزمایش‌ها به تعدادی که قبلاً ذکر شد به منظور محاسبه میزان جریمه تخصیصی در هر یک از متغیرها و هزینه کل، نتایج به دست آمده نشان می‌دهند که هزینه جریمه تخصیصی در متغیر امنیت به میزان ۷۷٪ کاهش یافته است؛ در نتیجه هزینه کل جرائم تخصیصی نیز به میزان ۶۱/۴۱٪ کاهش دارد.

شاخص رضایت مشتری به صورت (۱۷) در نظر گرفته شده و به صورت (۱۸) بیان می‌شود

$$CS = 100\% - \frac{\text{متوسط مجموع جریمه تخصیصی}}{\text{متوسط جریمه قابل تحمیل}} \quad (17)$$

$$TCS = CS_i - CS_j \quad (18)$$

که در این حالت  $CS_i$  و  $CS_j$  به ترتیب نشان‌دهنده شاخص رضایت مشتریان در MLS و FCFS هستند و در نتیجه، شاخص رضایت مشتریان ۶۰/۶۷٪ به دست می‌آید.

شکل ۱۶ نشان‌دهنده مقایسه نمودارهای میزان تراکم<sup>۱</sup> جریمه‌های تخصیصی در هر یک از آزمایش‌هاست. هرچه میزان نقاط مشخص شده بر روی بردار  $y$  بالاتر و با تعداد بیشتری باشد، میزان جرائم تخصیصی سنگین‌تر است. با توجه به چهار شکل نشان‌داده شده، هزینه جریمه در رویکرد MLS کمترین تراکم و بعد از آن رویکرد (ECC) FCFS است. به منظور بهینه‌سازی MLSRCT برای کاهش جریمه تخصیصی، آزمایش MLS جایگزین شد.

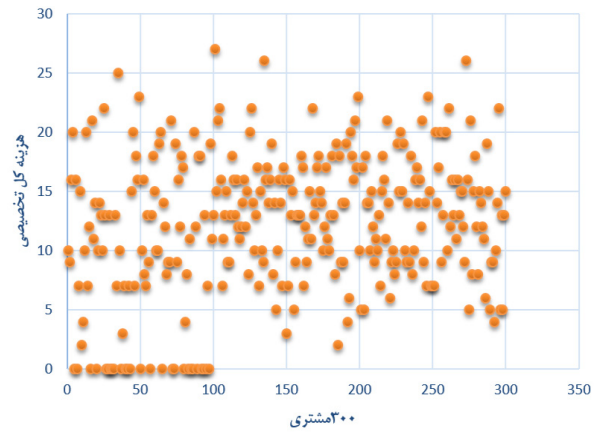
با توجه به جداول و نمودارهای نشان‌داده شده می‌توان نتیجه‌گیری کرد رویکرد MLS بهینگی و شرایط مناسب‌تری نسبت به سایر رویکردها دارد.

### ۷- نتیجه‌گیری

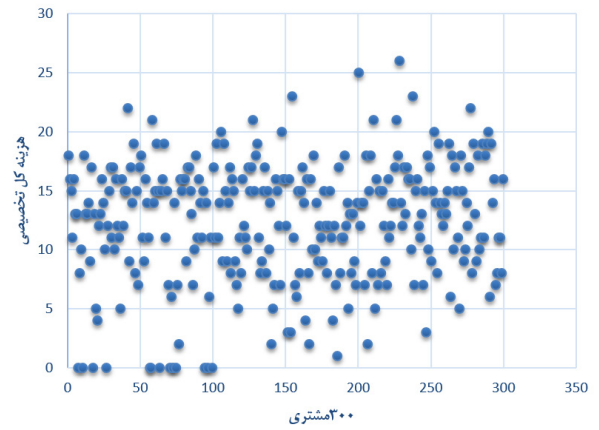
برای پیاده‌سازی سیستم امنیتی و جلوگیری از نفوذ سارقین و با استفاده از ویژگی‌های الگوریتم‌های آشوب و ویدمن و فازهای تقسیم‌بندی، تکه‌سازی و مبهم‌سازی به تولید کلید خصوصی و رمزنگاری سرویس‌ها در شبکه ابری پرداختیم. استفاده از چهار فاز برای رمزگذاری سرویس‌ها علاوه بر تأمین امنیت روی دیگر متغیرها (امنیت، کارایی و دسترس‌پذیری) تأثیر می‌گذارد که تحلیل آن در این پژوهش بررسی گردید.

استفاده از روش ابتکاری در تولید کلید خصوصی، فازبندی سرویس که موجب کاهش سربار و ارسال سرویس‌ها به صورت دسته‌بندی شده می‌شود از رویکردهای جدید این پژوهش است. فضای کلید در بخش دوم حداقل<sup>۳۱۸</sup> تعریف شد که مناسب بودن آن به‌عنوان کلید استاندارد اثبات گردید. رویکرد جلوگیری از سرقت و دسترسی غیرمجاز به داده‌ها در روش پیشنهادی و همچنین کشف داده توسط CSP توضیح داده شد.

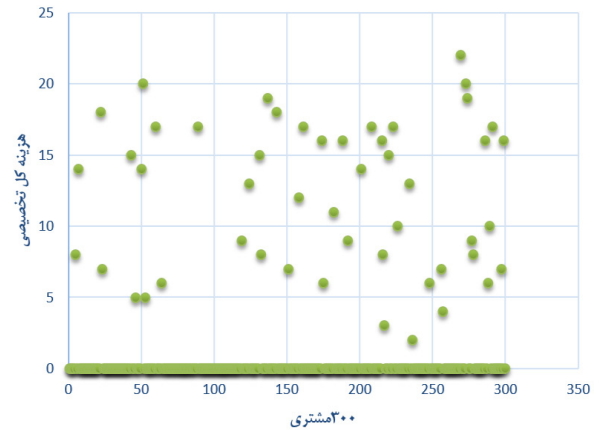
ارائه الگوریتم مبهم‌سازی، نحوه قطع‌بندی سرویس‌ها، استفاده از سرآیند در تولید کلید خصوصی، کدهای ناهمگام و همچنین توجه به زمان اجرای پردازش و اندازه سرویس از قابلیت‌های این پژوهش است که با سایر رویکردها مقایسه شد. ما با ارائه روش وزن‌گذاری برای محاسبه پارامترها در سه متغیر امنیت، کارایی و دسترس‌پذیری و انجام سه روش آزمایشی نشان دادیم میزان جرائم تخصیصی ۶۱/۴۱٪ کاهش و شاخص رضایت مشتری به میزان ۶۰/۶۷٪ افزایش یافته و نتایج را به وسیله جداول و نمودارها با رویکردهای FCFS، FCFS (ECC) و MLSRCT مقایسه کردیم. عدم وابستگی روش حاضر به یک نوع الگوریتم رمزگذاری (RSA) از قابلیت‌های این رویکرد است. بدیهی است این رویکرد برای



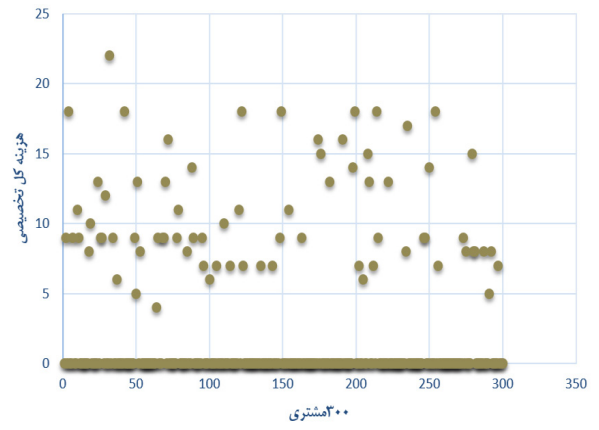
(الف)



(ب)



(ج)



(د)

شکل ۱۶: نمودار تراکم جریمه تخصیصی در (الف) FCFS، (ب) MLSRCT، (ج) MLS و (د) FCFS (ECC).



- [19] G. Raines, *Cloud Computing and SOA*, Technical Report, the MITRE Corporation, 2009.
- [20] M. Santambrogio, R. Jhavar, and V. Piur, "A comprehensive conceptual system-level approach to fault tolerance in cloud computing," in *Proc. IEEE Int. Systems Conf., SysCon'12*, 5 pp., Vancouver, Canada, 19-22 Mar. 2012.
- [21] K. Sood, "A combined approach to ensure data security in cloud computing," *J. of Network and Computer Applications*, vol. 35, no. 6, pp. 1831-1838, Nov. 2012.
- [22] P. Wiedera, "Fault-tolerant service level agreement lifecycle management in clouds using actor system," *Future Generation Computer Systems, Elsevier B.V.*, vol. 54, pp. 247-259, Jan. 2016.
- [23] H. Liang, D. Huang, L. X. Cai, X. Shen, and D. Peng, "Resource allocation for security services in mobile cloud computing," in *Proc. IEEE Conf. on Computer Communications Workshops, INFOCOM WKSHP'S'11*, pp. 191-195, Shanghai, China, 10-15 Apr. 2011.
- [24] Y. Protskaya, L. Veltri, F. Zanichelli, M. Amoretti, and R. Pecori, "A scalable and secure publish/subscribebased framework for industrial IoT," *IEEE Trans. on Industrial Informatics*, vol. 17, no. 6, pp. 3815-3825, Jun. 2021.
- [25] L. Huang, S. Cai, X. Xiong, and M. Xiao, "On symmetric color image encryption system with permutation-diffusion simultaneous operation," *Optics and Lasers in Engineering*, vol. 115, pp. 7-20, Apr. 2019.
- [26] P. Li, et al., "A novel color image encryption scheme using DNA permutation based on the Lorenz system," *Multimedia Tools and Applications*, vol. 77, no. 5, pp. 6243-6265, Mar. 2018.
- [27] Y. Q. Zhang, X. Y. Wang, J. Liu, and Z. L. Chi, "An image encryption scheme based on the MLNCML system using DNA sequences," *Optics and Lasers in Engineering*, vol. 82, pp. 95-103, Jul. 2016.
- [28] N. Chauhan, H. Banka, and R. Agrawal, "Delay-aware application offloading in fog environment using multi-class Brownian model," *Wireless Networks*, vol. 27, no. 7, pp. 4479-4495, 2021.
- [29] C. A. F. De Rose, R. Buyya, R. N. Calheiros, and M. A. S. Netto, "EMUSIM: an integrated emulation and simulation environment for modeling, evaluation, and validation of performance of cloud computing applications," *Software: Practice and Experience*, vol. 43, no. 2, pp. 595-612, 2013.
- [30] A. Beloglazov, C. A. F. De Rose, R. Buyya, R. N. Calheiros, and R. Ranjan, "Cloudsim: a toolkit for modeling and simulation of cloud computing environments and evaluation of resource provisioning algorithms," *Software-Practice and Experience*, vol. 41, no. 1, pp. 23-50, Jan. 2010.
- [31] T. Halabi and M. Bellaiche, "A broker-based framework for standardization and management of cloud security-SLAs," *Computers and Security*, vol. 75, pp. 59-71, Jun. 2018.

**آریتا رضایی** در سال ۱۳۸۵ مدرک کارشناسی مهندسی کامپیوتر- نرم افزار خود را از دانشگاه پیام نور مرکز تهران و در سال ۱۳۹۲ مدرک کارشناسی ارشد مهندسی کامپیوتر- نرم افزار خود را از دانشگاه آزاد واحد قزوین دریافت نمود. هم‌اکنون بعنوان دانشجوی دکتری دانشگاه آزاد واحد تهران جنوب در رشته مهندسی کامپیوتر- سیستم های نرم افزاری مشغول به تحصیل می باشد. از سال ۱۳۸۰ تاکنون به‌عنوان کارمند وزارت تعاون، کار و رفاه اجتماعی مشغول به کار می‌باشد. وی در سال‌های ۱۳۹۳ الی ۱۳۹۵ در دانشگاه آزاد واحد سماء اسلامشهر و دانشگاه آزاد شهرقدس به صورت پاره وقت تدریس نموده است. زمینه‌های علمی مورد علاقه نامبرده متنوع بوده و شامل موضوعاتی مانند نحوه ارسال داده در شبکه‌های ابری، برقراری امنیت در شبکه‌های ابری و MQTT، ارائه الگوریتم جهت افزایش امنیت داده‌ها در زمان ارسال در شبکه می‌باشد.

**علی برومندتیا** در سال ۱۳۷۱ مدرک کارشناسی مهندسی کامپیوتر خود را از دانشگاه صنعتی اصفهان و در سال ۱۳۷۴ مدرک کارشناسی ارشد مهندسی کامپیوتر خود را از دانشگاه علم و صنعت ایران دریافت نمود. از سال ۱۳۷۴ الی ۱۳۷۸ نامبرده به عنوان عضو هیأت علمی مربی کامپیوتر در دانشگاه آزاد واحد تهران سما مشغول به کار بود و پس از آن دوره دکترای مهندسی کامپیوتر را در دانشگاه آزاد اسلامی واحد علوم تحقیقات به‌عنوان بورسیه شروع نمود و در سال ۱۳۸۵ موفق به اخذ درجه دکترا در مهندسی کامپیوتر از دانشگاه مذکور گردید. دکتر برومندتیا از سال ۱۳۷۸ در دانشکده فنی کامپیوتر دانشگاه آزاد اسلامی واحد تهران جنوب شروع به فعالیت نمود و اینک نیز عضو هیأت علمی این دانشکده می‌باشد. زمینه‌های علمی مورد علاقه نامبرده متنوع بوده و شامل موضوعاتی مانند ایده‌های نو در هوش مصنوعی، پنهان‌سازی اطلاعات، امنیت سیستم‌های چند رسانه‌ای می‌باشد.

رمزگذاری داده‌های برخط<sup>۱</sup> مناسب نیست.

در آخر، مدیریت حافظه در زمان رمزگذاری و بررسی تأثیر روش پیشنهادی بر روی انواع حملات رایج، میزان مقاومت روش پیشنهادی و سناریوهای مرتبط با آن از چالش‌های مطرح است که در مباحث پژوهشی آتی در نظر گرفته خواهند شد.

## مراجع

- [1] P. Zavarasky, R. S. Bali, and F. Jaafar, "Lightweight authentication for MQTT to improve the security of IoT communication," in *Proc. of the 3rd Int. Conf. on Cryptography, Security and Privacy, ICCSP'19*, pp. 6-12, Kuala Lumpur Malaysia, 9-21 Jan. 2019.
- [2] M. V. Pawar and J. Anuradha, "Network security and types of attacks in network," *Procedia Computer Science*, vol. 48, pp. 503-506, 2015.
- [3] H. Singh, Z. Amin, and N. Sethi, "Review on fault tolerance techniques in cloud computing," *International J. of Computer Applications*, vol. 116, no. 18, pp. 11-17, 2015.
- [4] S. Venugopala, J. Broberg, I. Brandic, R. Buyya, and C. S. Yeo, "Cloud computing and emerging IT platforms: vision, hype, and reality for delivering computing as the 5th utility," *Future Generation Computer Systems*, vol. 25, no. 6, pp. 599-616, Jun. 2008.
- [5] H. Ghazanfaripour and A. Broumandnia, "Designing a digital image encryption scheme using chaotic maps with prime modular," *Optics and Laser Technology*, vol. 131, Article ID: 106339, 2020.
- [6] A. Coen-Porisini, A. Rizzardi, and S. Sicari, "Analysis on functionalities and security features of internet of things related protocols," *Wireless Networks*, vol. 28, no. 7, pp. 2857-2887, 2022.
- [7] C. Liao, et al., "MODECP: a multi-objective based approach for solving distributed controller placement problem in software defined network," *Sensors*, vol. 22, no. 15, Article ID: 22155475, 2022.
- [8] L. T. Yang, G. Huang, J. Feng, and L. Xu, "Parallel GNFS algorithm integrated with parallel block wiedemann algorithm for RSA security in cloud computing," *Information Sciences*, vol. 387, pp. 254-265, May 2017.
- [9] A. Broumandnia, "Image encryption algorithm based on the finite fields in chaotic maps," *J. of Information Security and Applications*, vol. 54, Article ID: 102553, Oct. 2020.
- [10] E. B. Sanjuan, I. A. Cardiel, J. A. Cerrada, and C. Cerrada, "Message queuing telemetry transport (MQTT) security: a cryptographic smart card approach," *IEEE Access*, vol. 8, pp. 115051-115062, 2020.
- [11] Z. Shen and Q. Tong, "The security of cloud computing system enabled by trusted computing technology," in *Proc. 2nd Int. Conf. on Signal Processing Systems*, vol. 2, pp. 11-15, Dalian, China, 5-7 Jul. 2010.
- [12] M. V. Kumar, G. Manogaran, and C. Thota, "Metaclouddatastorage architecture for big data security in cloud computing," *Procedia Computer Science*, vol. 87, pp. 128-133, 2016.
- [13] Q. Zheng, "Improving MapReduce fault tolerance in the cloud," in *Proc. IEEE Int. Symp. on Parallel Distributed Processing, Workshops and PhD Forum, IPDPSW'10*, 6 pp., Atlanta, GA, USA, 19-23 Apr. 2010.
- [14] S. K. Sharma, P. Gautam, and M. D. Ansari, "Enhanced security for electronic health care information using obfuscation and RSA algorithm in cloud computing," *International J. of Information Security and Privacy*, vol. 13, no. 1, pp. 59-69, Jan./Mar. 2019.
- [15] M. Ratha, "Resource provision and QoS support with added security for client side applications in cloud computing," *International J. of Information Technology*, vol. 11, pp. 357-364, 2019.
- [16] S. Khatri, Y. Sharma, and H. Gupta, "A security model for the enhancement of data privacy in cloud computing," in *Proc. Amity Int. Conf. on Artificial Intelligence, AICAI'19*, pp. 898-902, Dubai, United Arab Emirates, 4-6 Feb. 2019.
- [17] I. Banerjee and N. Nesa, "Combining merkle hash tree and chaotic cryptography for secure data fusion in IoT," *Trans. on Computational Science*, vol. 35, pp. 85-105, 2020.
- [18] M. F. Aboalmaaly, A. J. Hintaw, S. Manickam, and S. Karuppayah, "MQTT vulnerabilities, attack vectors and solutions in the internet of things (IoT)," *IETE J. of Research*, vol. 69, no. 6, pp. 3368-3397, 2023.

**سید جواد میرعابدینی** در سال ۱۳۷۰ مدرک دیپلم خود را در رشته ریاضی و فیزیک از دبیرستان باهنر دریافت نمود. در سال ۱۳۷۵ مدرک کارشناسی مهندسی کامپیوتر خود را از دانشگاه شهید بهشتی دریافت نمود. ایشان دوره‌های DOS پیشرفته و DBMS، فاکس پرو، پارادوکس، MS Access و برنامه‌نویسی C، پاسکال، C++، C# و اسمبلی را در دانشکده‌های شهر تهران تدریس نمود. بین سال‌های ۱۳۷۷ الی ۱۳۸۶ در وزارت ارتباطات به‌عنوان سرپرست منابع انسانی و بخش IT مشغول به کار بود. هم‌زمان در سال ۱۳۸۰ مدرک کارشناسی ارشد رشته مهندسی کامپیوتر- هوش مصنوعی و رباتیک خود را از دانشگاه آزاد واحد علوم و تحقیقات دریافت نمود. دکتر میرعابدینی مدرک دکترای مهندسی کامپیوتر- سیستم‌های نرم افزاری را در سال ۱۳۸۱ شروع نمود و در سال ۱۳۸۷ موفق به اخذ درجه دکترا گردید. ایشان هم‌اکنون به‌عنوان عضو هیأت علمی دانشگاه آزاد واحد تهران مرکز مشغول به کار می‌باشد. زمینه‌های علمی مورد علاقه نام‌برده متنوع بوده و شامل موضوعاتی مانند سیستم‌های هوشمند، هوش تجاری، سیستم‌های توسعه‌گر، و یادگیری ماشین کاربردی می‌باشد.